

Čištění a/nebo analýza

Laser ablation (LA) – vzorkování pro OES (nikoliv „měkké techniky“ desorpce LD + něco, MALDI)

+

Inductively coupled
plasma (ICP)

nebo

Laser-Induced Breakdown
Spectroscopy (LIBS)

+

Optical
Emission
Spectrometry
(OES)

Or

Mass
Spectrometry
(MS)

Single Pulse

Double Pulse



Remote/Stand-off

Laser Induced Breakdown Spectroscopy (LIBS)

Spektroskopie laserem buzeného mikroplazmatu

Další názvy: Laser Induced Plasma Spectroscopy (LIPS)

Laser-Assisted Plasma Spectrometry

A řada dalších názvů...

Odnož laserové ablaci s atomovou emisní spektrometrií – laserový paprsek slouží nejen k vzorkování, ale i k buzení mikroplazmatu s aerosolem vzorku – to je spektrálně analyzováno.

Rychlá multiprvková analýza vzorku v jakémkoliv skupenství i jedním pulzem s echelle spektrografem

Žádná nebo jednoduchá příprava vzorků (zalití do pryskyřice, rozříznutí a nábrus)

Možná mobilita zařízení v terénu a analýza na těžko přístupných místech

Jen malé poškození vzorku – mikrometry do hloubky, na povrchu mikrometry až mm

Možnost prostorově rozlišené analýzy

Nevýhody

Projevy topologie – malé rozměry mikroplazmatu – obtížnější detekce záření

Relativně rychlý časový vývoj – většinou nutnost synchronizace pulzu laseru a detekce záření, spektrum pro daný vzorek závisí na okamžiku začátku a délce měření

Značné matriční jevy – obtížná kalibrace, spektrum (intenzity čar) závisí nejen na obsazích prvků, ale i na materiálu, nutné vzorku podobné standardy (matrix-matched standards) – nedostatek referenčních materiálů

Samoabsorpce záření horkých atomů chladnější vnější vrstvou – až samozvrat čáry (self-reversal), proto často nelineární kalibrační křivky

Jiné optimální ablační podmínky pro každou čáru z hlediska intenzity a linearity kalibrace

Nutné simultánní měření určitého spektrálního intervalu, který často nepokryje všechny žádané čáry (vhodné echelle spektrometry – méně citlivé než Czerny-Turner)

Vzorky LIBS

Pevné

- kovy
- keramika
- polovodiče
- polymery
- léky
- zuby
- kosti
- půdy
- minerály
- bakterie na agaru (rosol z řas)
- kovy ve vodě
- dřevo, papír

Kapalné

- roztavené kovy, soli, sklo
- průmyslové kapaliny, odpadní vody
- tekutá léčiva
- biologické kapaliny
- voda v ochraně žp., koloidy

Plynne

- výfukové plyny
- ostatní spaliny (uhlí apod...)
- aerosoly ve vzduchu
- Bojové látky

Oblasti použití LIBS

Slévárenství

- slitiny ztuhlé i kapalné (Al, Cu, Zn, Mg, ocel (Co, Ni, Cr)
- průmyslová média
- žárově pokovená ocel
- roztavené soli
- hloubkové profilování

Farmacie

- léky: tablety i masti
- roztoky solí
- Identifikace léčiv
- homogenita vzorků

Minerály

- různé prvky (Au, Cu, Ni, Fe, C, Ca, Al, Mg, Si, Ti) v rudě a hlušině

Další organické vzorky

- papír
- polymery
- dřevo

Životní prostředí

- kontaminace
- odpadní vody
- sběrny kovů, šrot

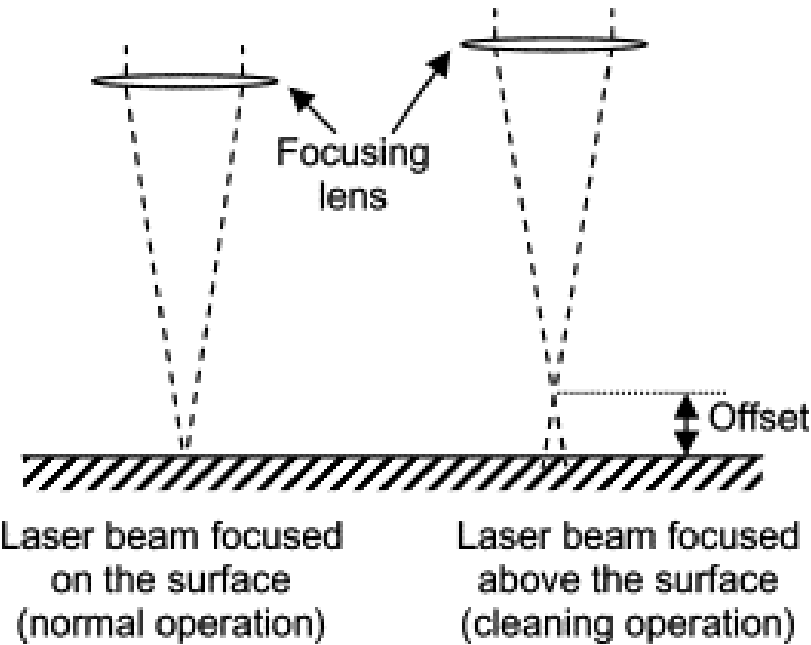
Některé pojmy z LA/LIBS

- lens-to-sample distance – vzdálenost čela ostřicí optiky od povrchu vzorku (při analýze ablací obvykle zaostření na povrch nebo několik mm pod povrch vzorku, tj. ohnisko leží pod povrchem vzorku, při čištění pak výše)
- fluence – plošná hustota energie na povrchu vzorku: $E_{puls}/(\text{Sample area})$
- irradiance – plošná hustota výkonu na povrchu vzorku: $E_{puls}/t_{puls}/(\text{Sample area})$
při délce pulzu několik ns a energii desítky mJ - irradiance GW/cm⁻²

Stálé zaostření na vzorek = stálý signál, stálá irradiance

-často optický senzor – diodový laser (červený, zelený), jehož velikost stopy na vzorku sledujeme

-při změně velikosti nebo tvaru stopy (malý kroužek) doostří automaticky nebo ručně



Kalibrační standardy pro Laserovou ablaci a LIBS

-skleněné kompaktní: NIST 610, 612, 614, 616

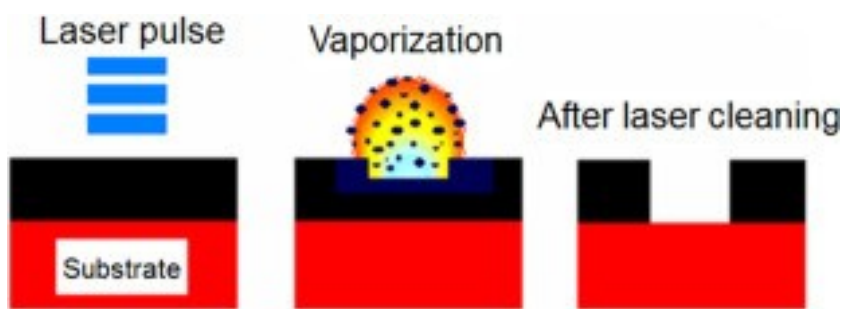


-geologické práškové – nutnost lisování tablet s nebo bez pojiva

-kovové kompaktní – společné i pro XRF



Úvod do čištění laserem

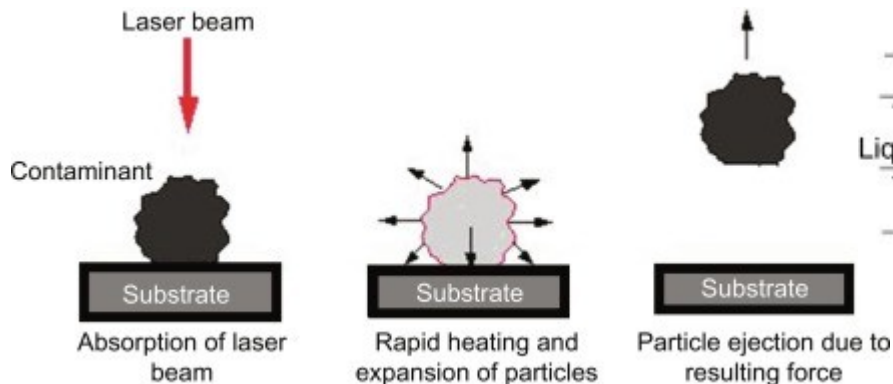


Odstranit nečistoty nebo vrstvu z povrchu, ale neopoškodit vzorek

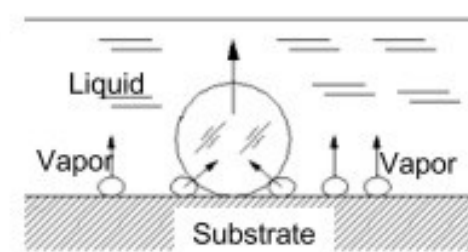
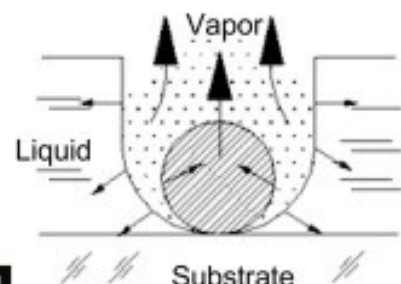
Vypařování, tříštění, ablace, tvorba rázové vlny

Na povrchu může růst vrstva produktů interakce s laserem zhoršující další čištění

Suché čištění- dry cleaning

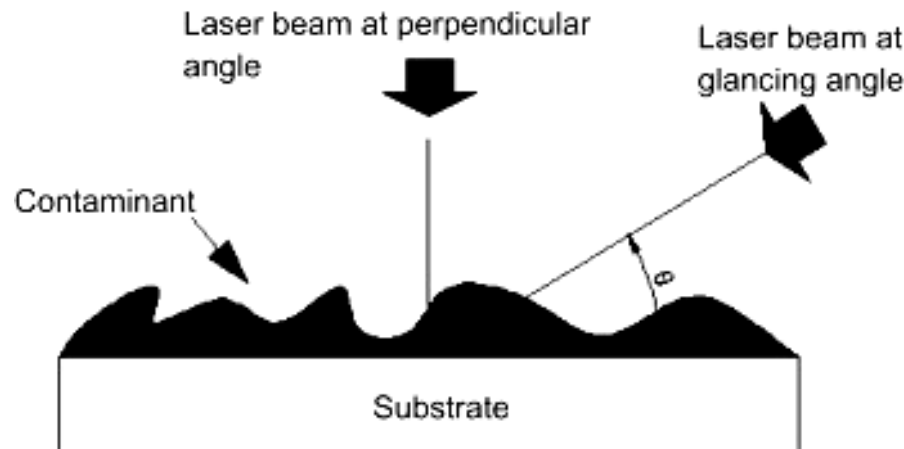


Mokré/parní čištění- Wet/Steam cleaning



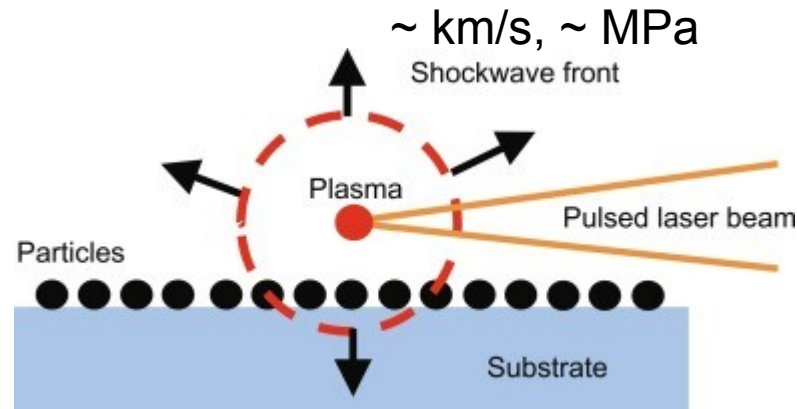
Úhlové čištění – angular cleaning

-zvyšuje účinnost až 10x



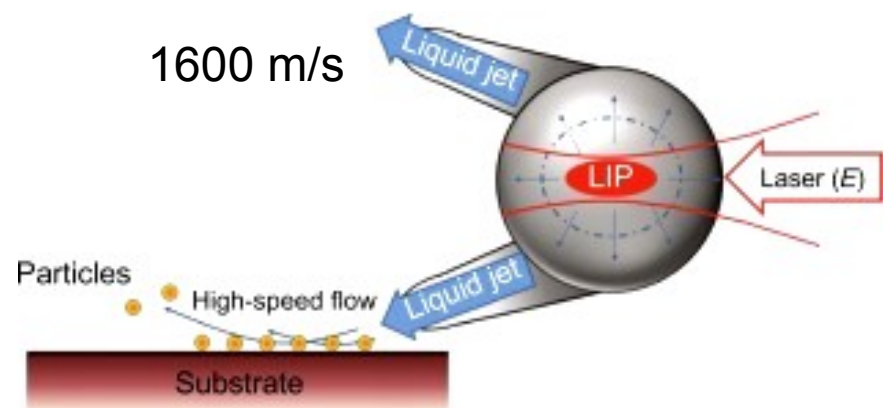
Čištění rázovou vlnou – shock cleaning

-vzduch, He, N₂, Ar



Laser-Assisted Optohydrodynamic Cleaning

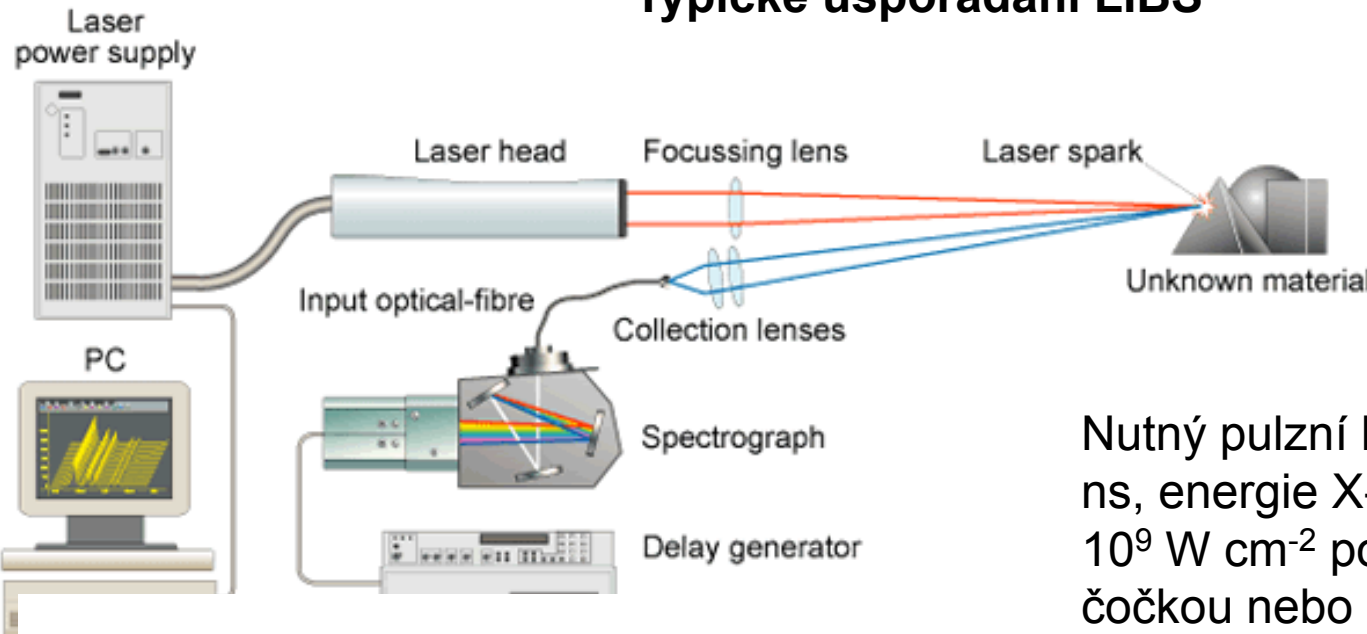
-odstr. nanočástic



Lasery pro čištění

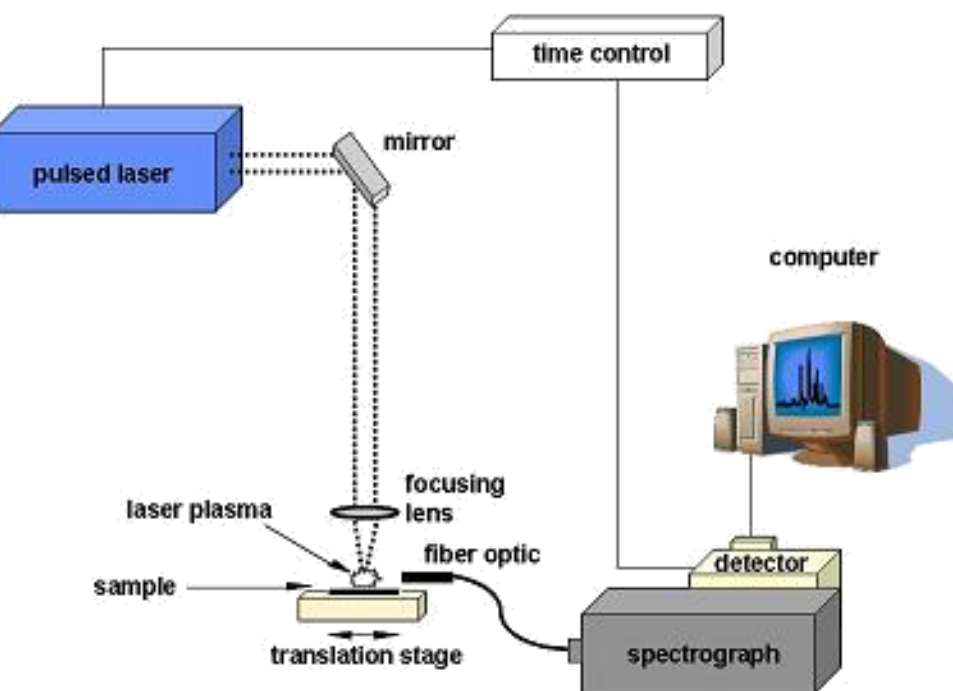
Laser	Wavelength	Typical contaminants to be removed
ArF excimer	193 nm	SiO ₂ particles, polymers
KrF excimer	248 nm	Oxides, polymers, oil and grease, Al ₂ O ₃ , ceramic coating
XeCl	308 nm	Aluminum oxide, iron oxide, silicon
XeF excimer	351 nm	Aluminum oxide, copper oxide
Q-switched lamp pumped or diode pumped Nd:YAG ³	355 nm	Oxides, stains, contaminants, metallic powders
Nanosecond fiber laser		
Q-switched lamp pumped or diode pumped Nd:YAG ³	532 nm	Oxides, stains, contaminants, rust, metallic powders, oil and grease
Nanosecond fiber laser		
Q-switched lamp pumped or diode pumped Nd:YAG ³	1.06 µm	Surface stripping, surface preparation, oxides, stain, pollutants, rust, metallic powders, oil and grease
Nanosecond fiber laser		
TEA (transversely excited atmospheric) CO ₂	9.6 µm	Surface stripping, oil and grease, oxides
TEA CO ₂	10.6 µm	Aluminum oxide, SiC, dirt, resin, iron, silicon, particles, oil and grease, oxides

Typické uspořádání LIBS

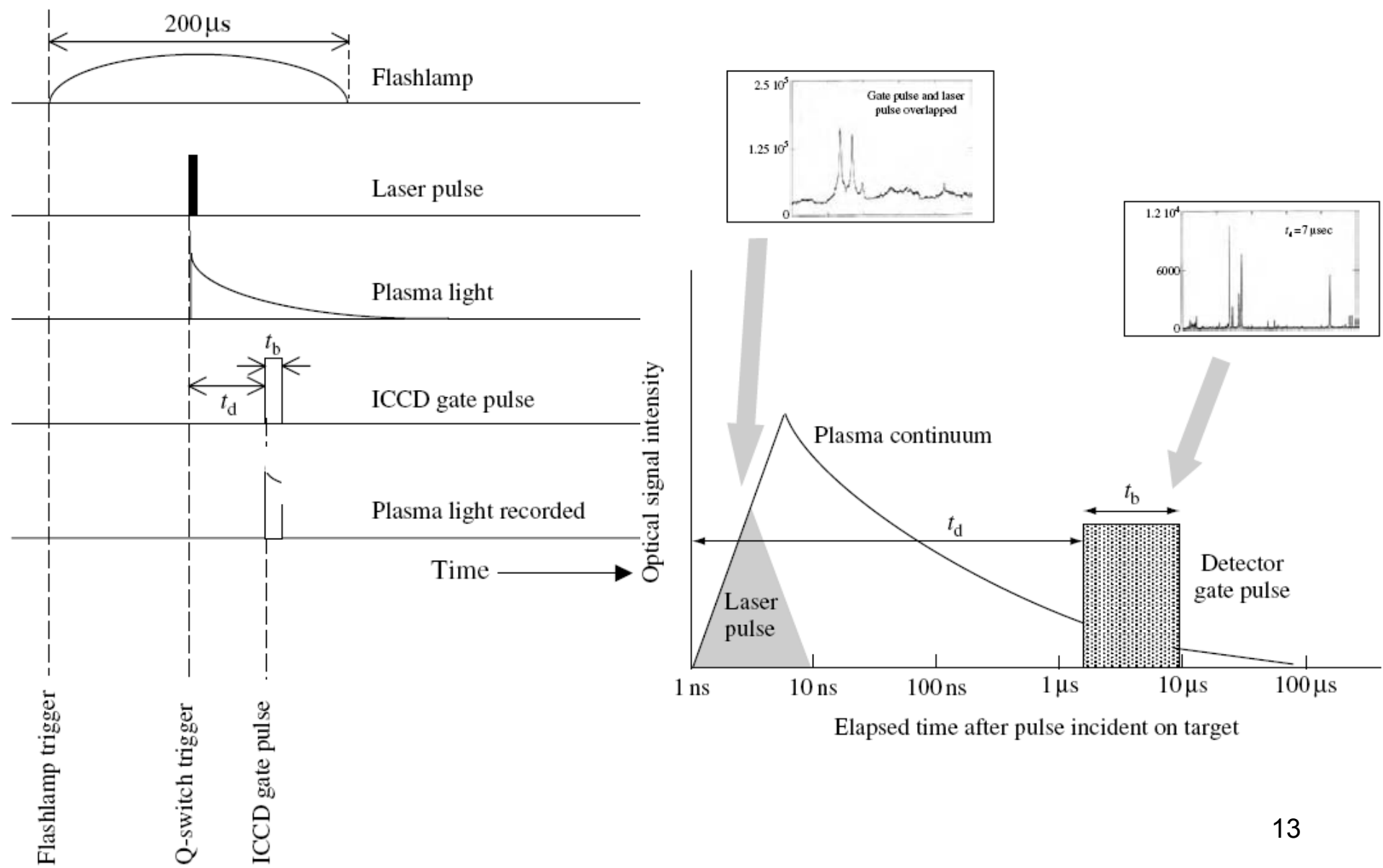


Nutný pulzní laser – délka pulzu X ns, energie X-XXX mJ, irradiance 10^9 W cm^{-2} po zaostření spojnoú čočkou nebo opt. soustavou

Časově rozlišené spínání laseru a detektoru – nutnost použití ICCD (Intensified Charge Coupled Device) a delay generátoru (např. přijme z laseru napěťový pulz, vyčká XXX ns - X μs a vyšle spouštěcí pulz do spektrografo – měří spektrum se zpožděním po pulzu laseru



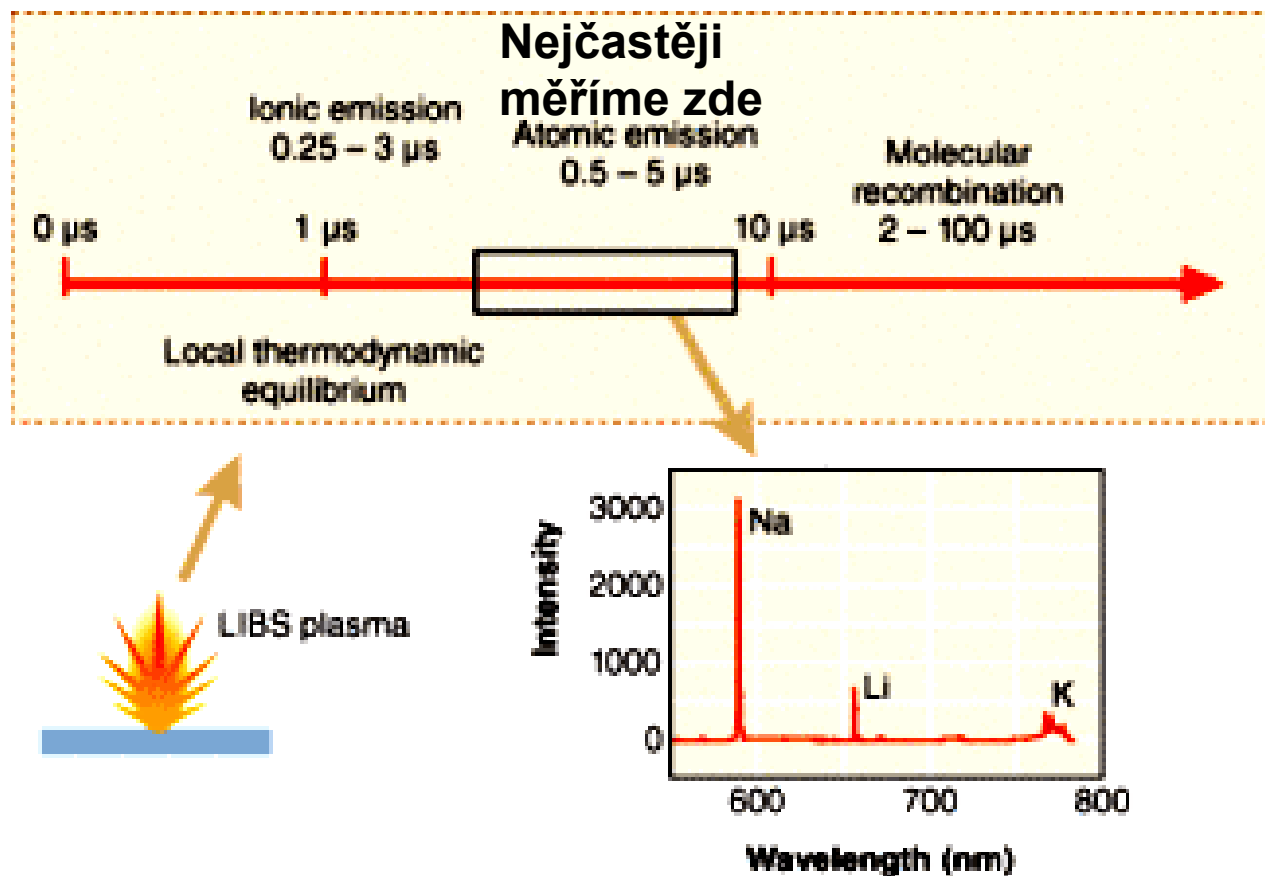
Časový sled událostí měření spektra LIBS – př. Nd: YAG laser



Časový vývoj emise LIBS

Souvisí s počátečním nárůstem a exponenciálním poklesem teploty

Nutno najít pro dané čáry časový úsek s nejlepším poměrem signál/šum (pozadí)

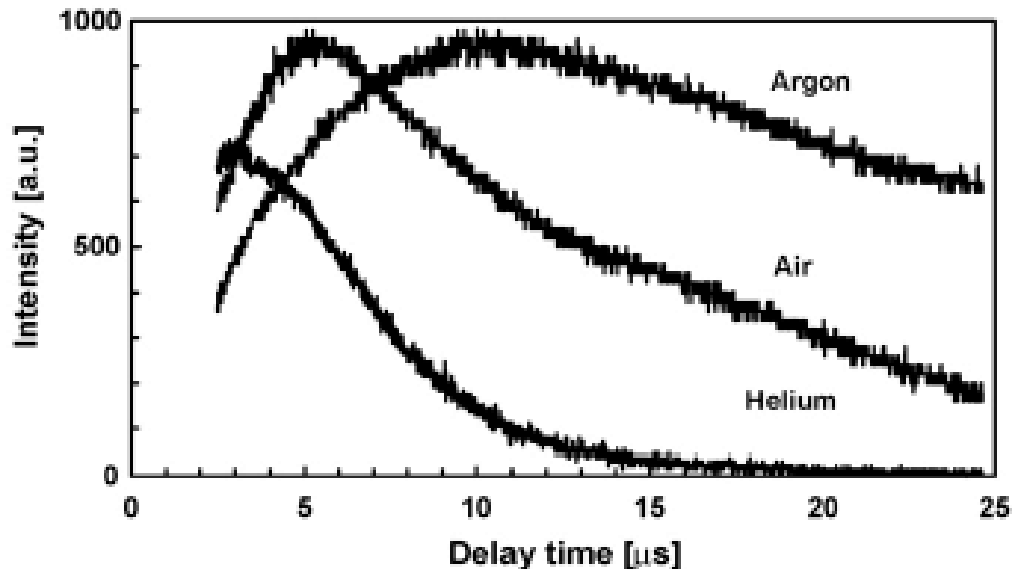


Nejdůležitěší aspekty LIBS

Většinou shodné s ostatní laserovou ablací

Irradiance

Okolní atmosféra (vzduch, Ar, He)
– různé časové průběhy intenzit čar
– různá tepelná vodivost a excitační/
ionizační/disociační energie plynů



LTSD (lens-to-sample-distance) vzdálenost vzorek

Osnova (matrice) vzorku

Výkon laseru, stabilita

Gating – synchronizace okamžiku měření s pulzem

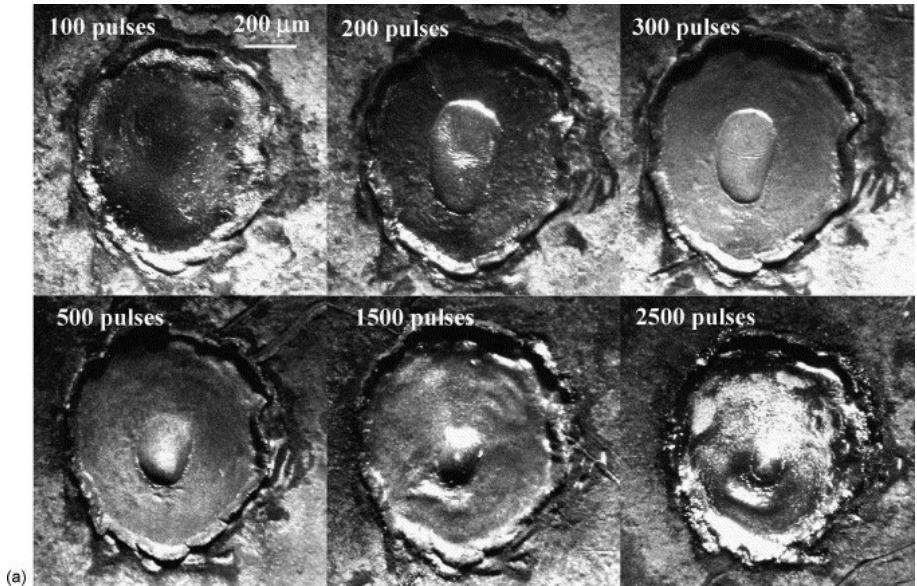
laseru

Úhel dopadu paprsku na vzorek

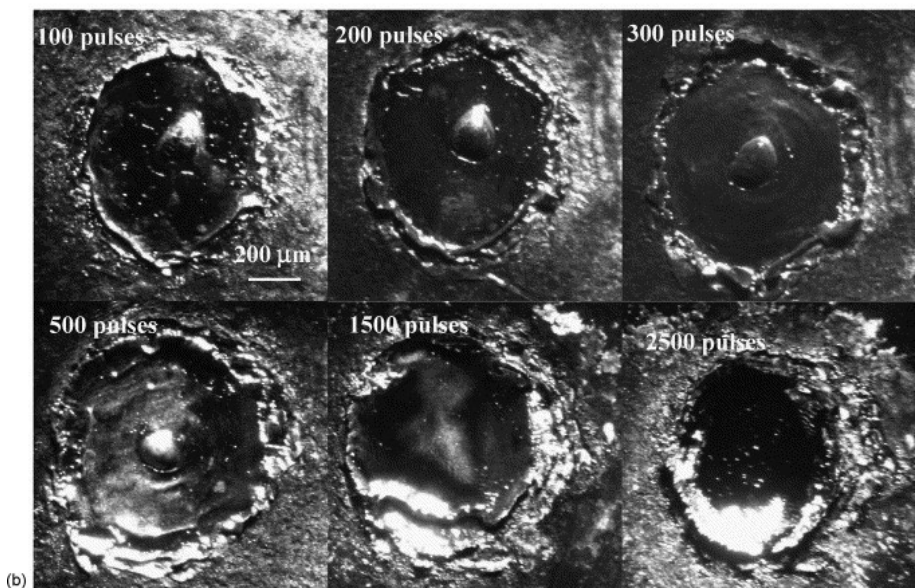
Způsob zaostření paprsku na vzorek

Způsob sběru záření (čočka nebo optické vlákno,
zrcadlo)

K. Novotný et al., Appl. Surf. Sci.
253, 3834-3842 2007

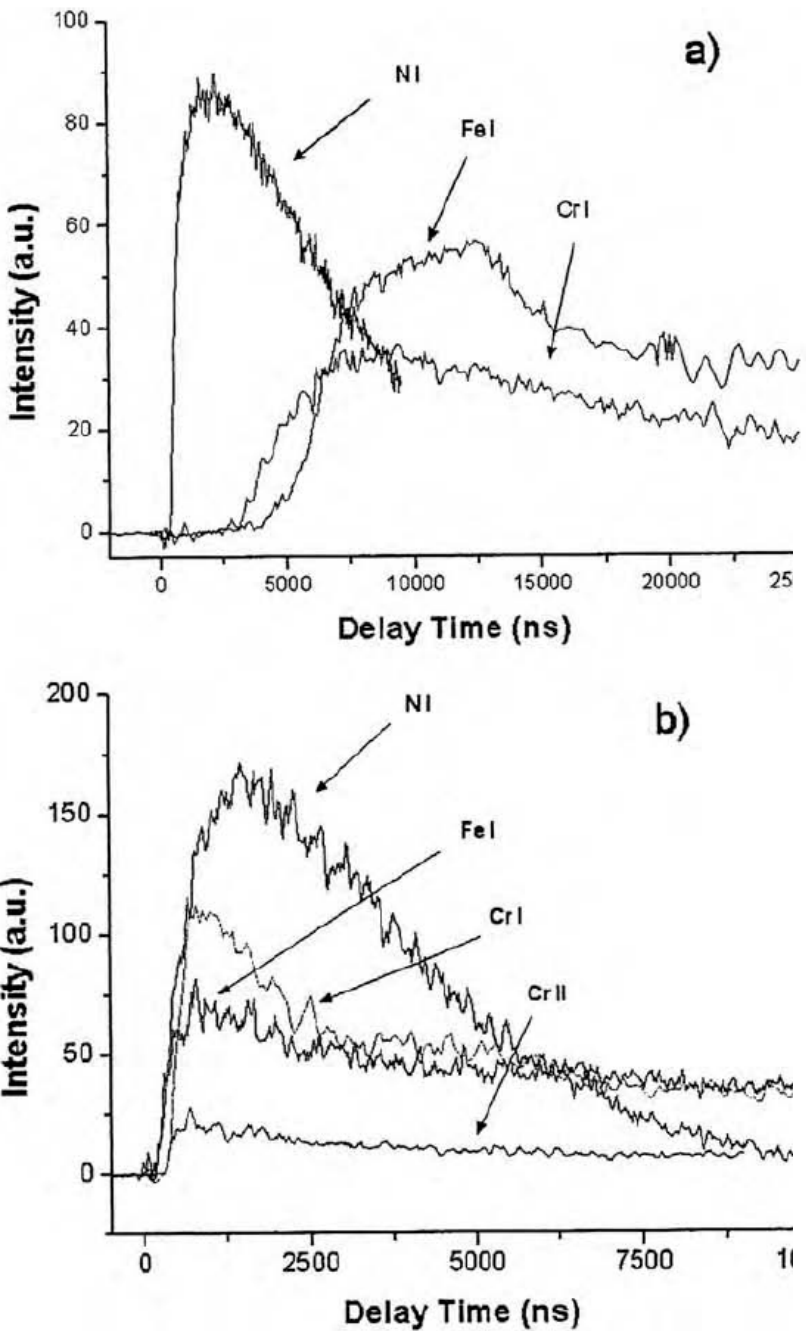


Zn coating—Sollac – vrstva na oceli
– fotografie kráterů: 100, 200, 300,
500, 1500 a 2500 pulzů s energií 100
mJ v: (a) vzduch, zaostřeno -20 mm,
(b) argon, zaostřeno -15 mm



K. Novotný et al., Appl. Surf. Sci.
253, 3834-3842 2007

Kvantitativní analýza - kalibrační závislosti

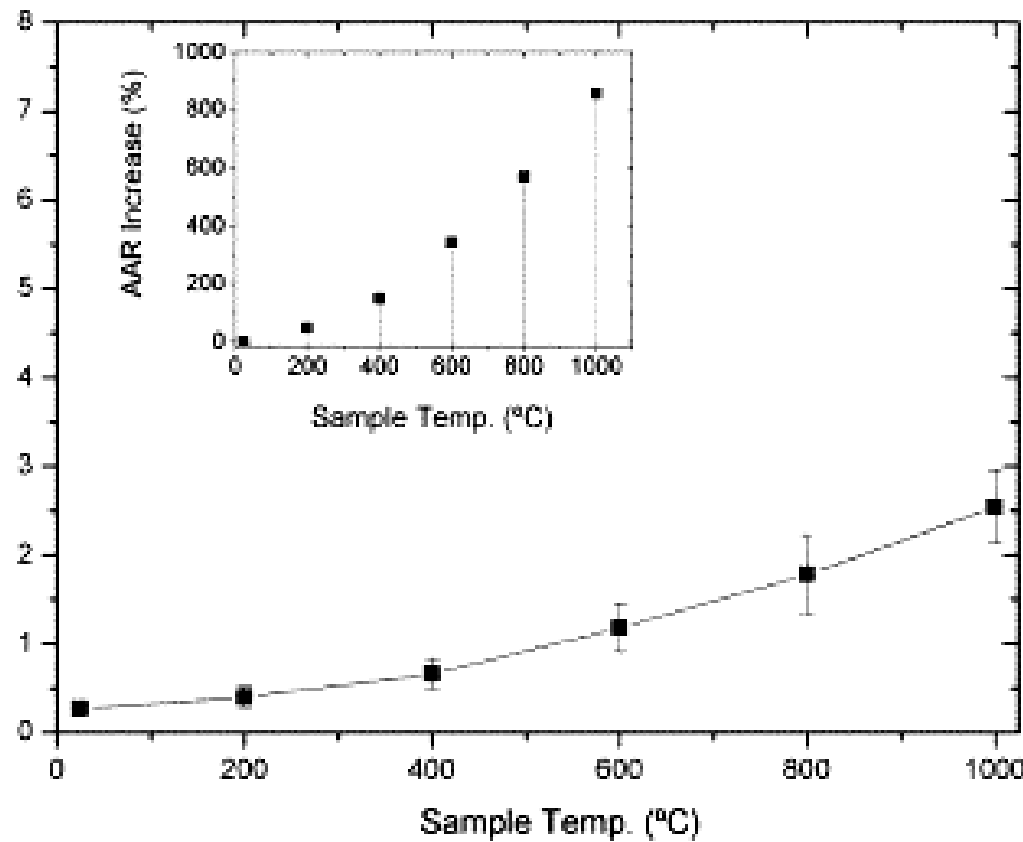


Obecně $I(c) = ac^b$ Scheibe-Lomakin,
ideálně lineární $I(c) = ac + d$

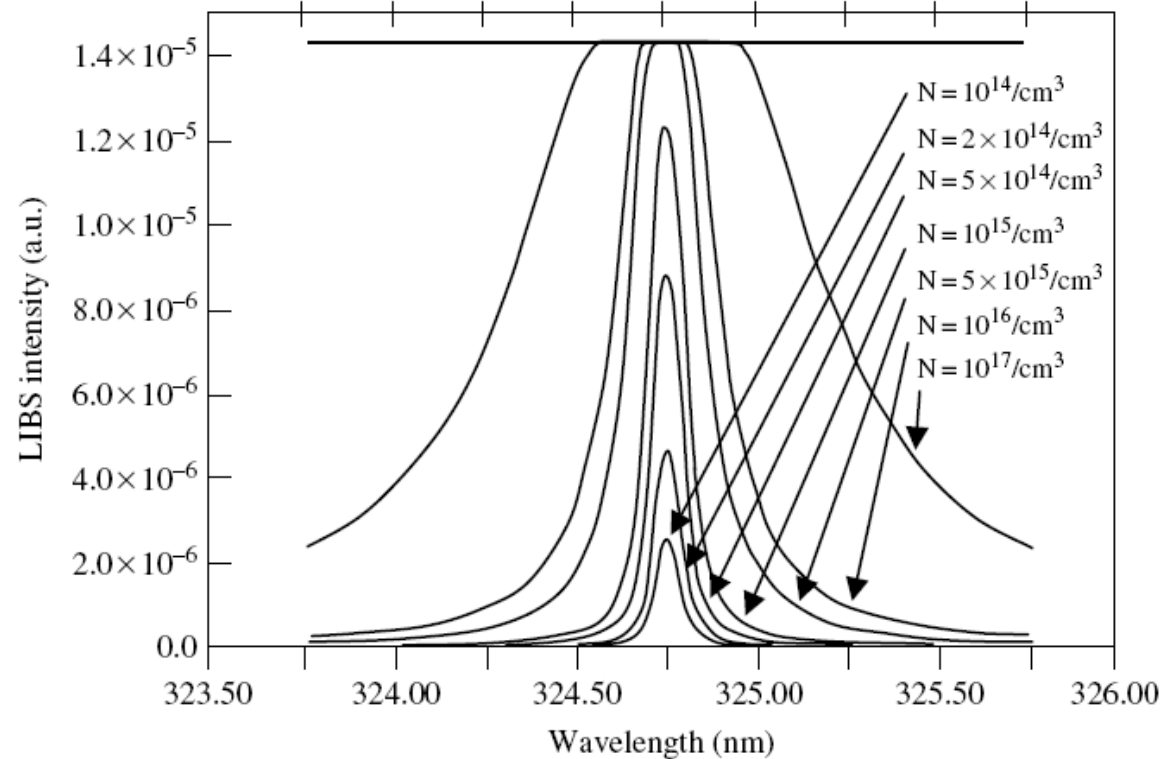
Časový vývoj intenzit závisí i na irradianci, pro každou čáru je jiný optimální čas

a) $1.5 \cdot 10^9$, b) $2 \cdot 10^{11} \text{ W cm}^{-2}$

Korekce kalibrace u tavenin – fce teploty vzorku

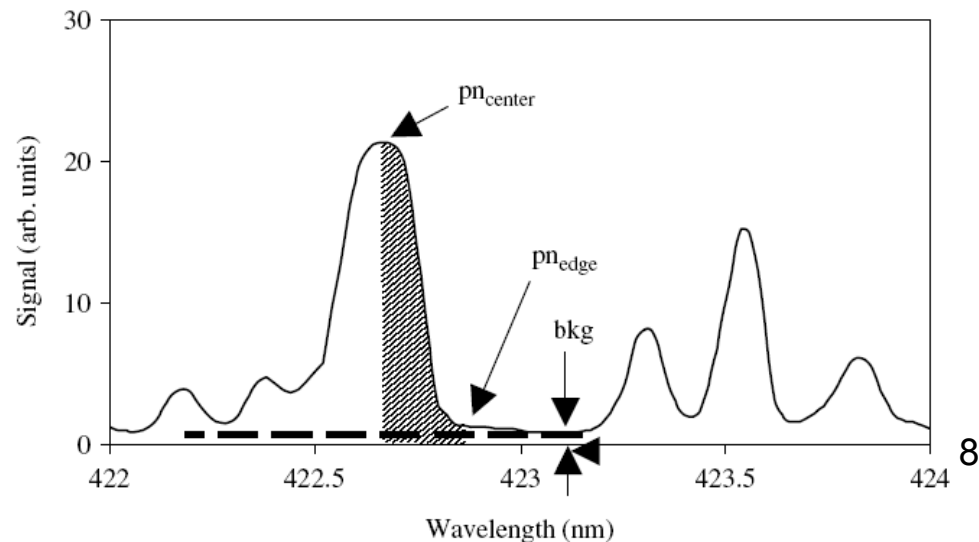


Závislost intenzity a profilu čáry na hustotě elektronů – bezkalibrační LIBS - problematické



Mikroplazma obsahuje většinou nezářící fragmenty vzorku - limity detekce obecně horší než u roztokové analýzy AES, typicky: 1-100 mg/kg podle okolností

Spolehlivější je intenzita jako plocha čáry



LIBS spíše semikvantitativní analýza

Citlivá na lehké prvky – doplňková analýza k XRF

Správnost a přesnost: 10-30 % obvyklá odchylka

Vyžaduje kalibraci standardy ze stejného materiálu, jako je vzorek
(matrix matched calibration)

-podobné nebo stejné standardy jako pro LA-ICP-MS a XRF

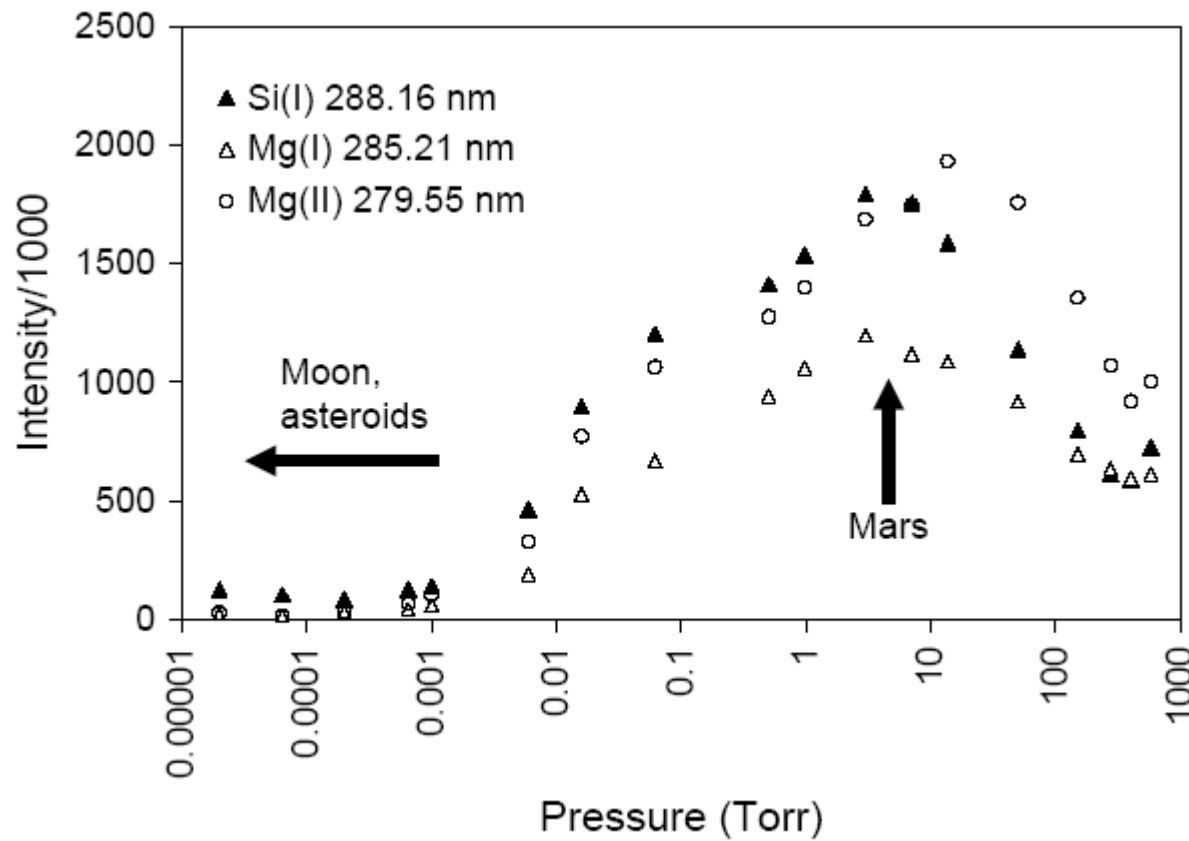
Možnost stanovit téměř všechny prvky

-u halogenů a nekovů vysoké limity detekce (LOD) (desetiny %)

-u ostatních prvků LOD 0,X-XX mg/kg v pevném vzorku

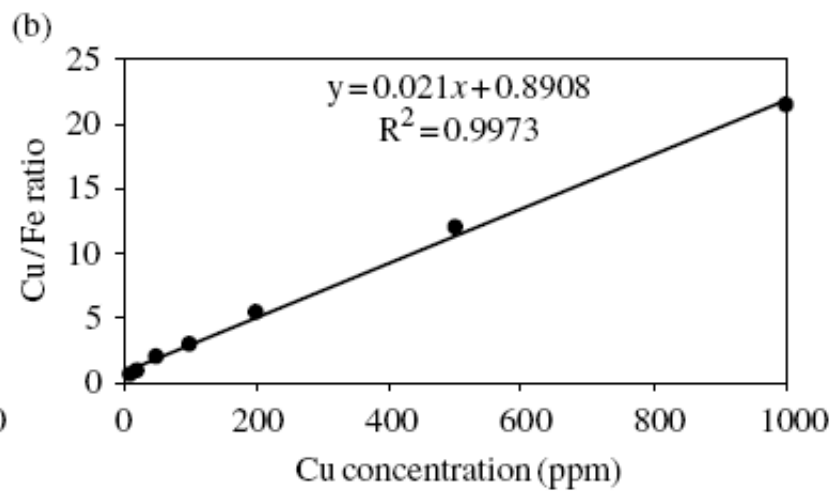
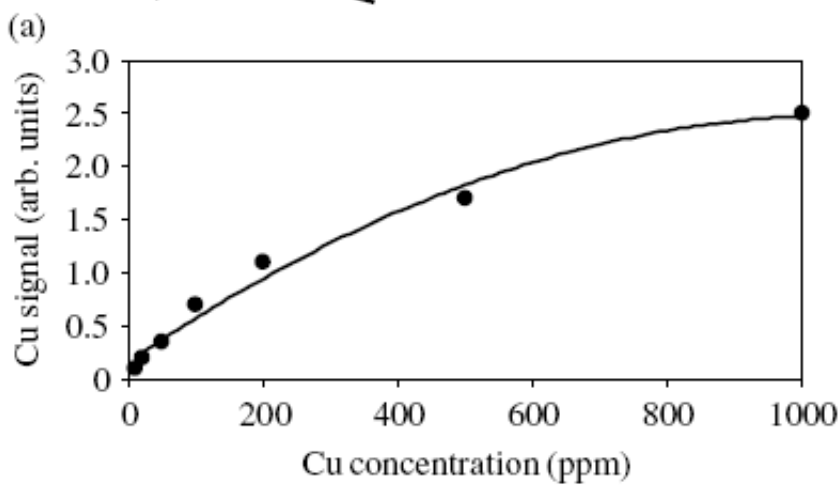
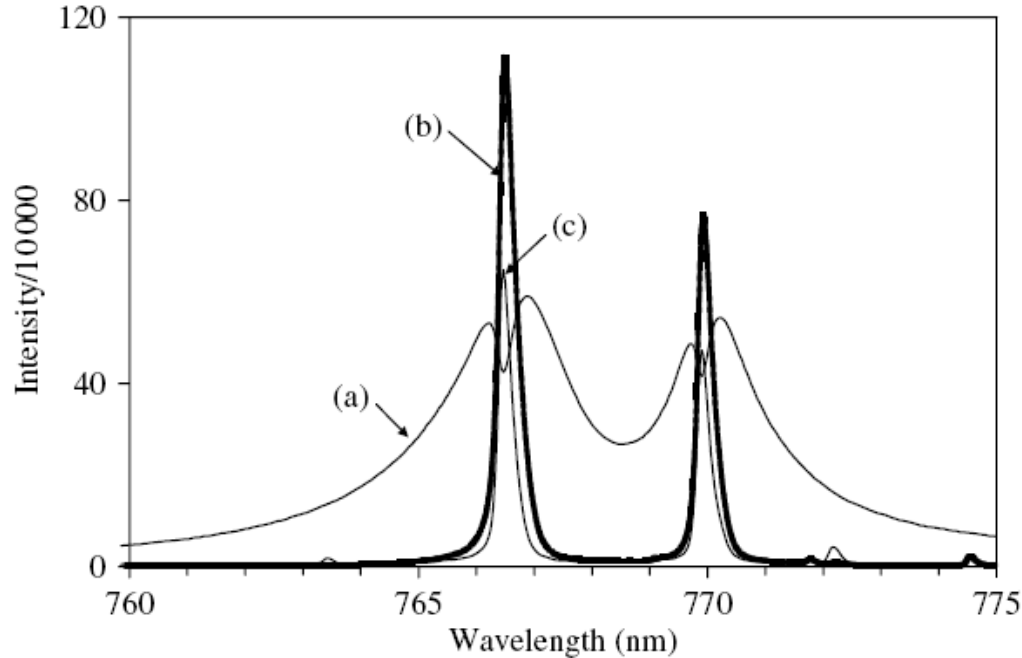
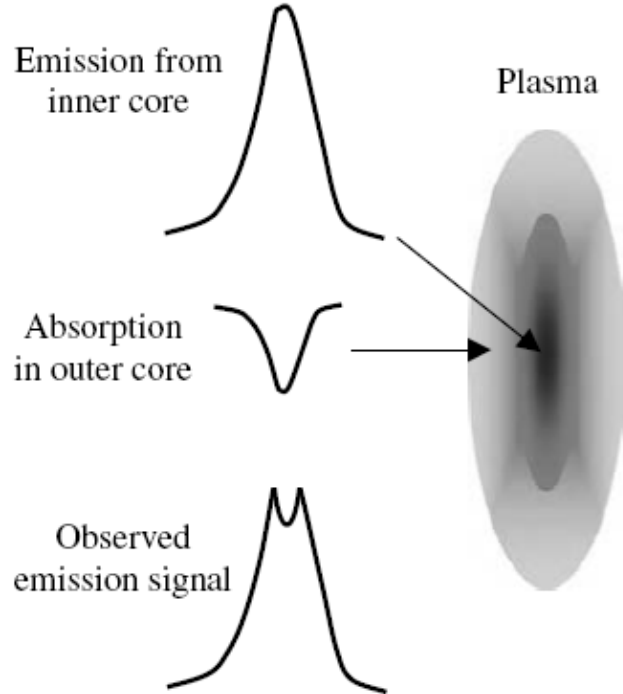
LOD velmi závisí na konkrétním zařízení a vzorku

Závislost intenzity emise na tlaku – důležité pro Mars (7 Torr) – nízký tlak a Venuši – vysoký tlak (90 atm)



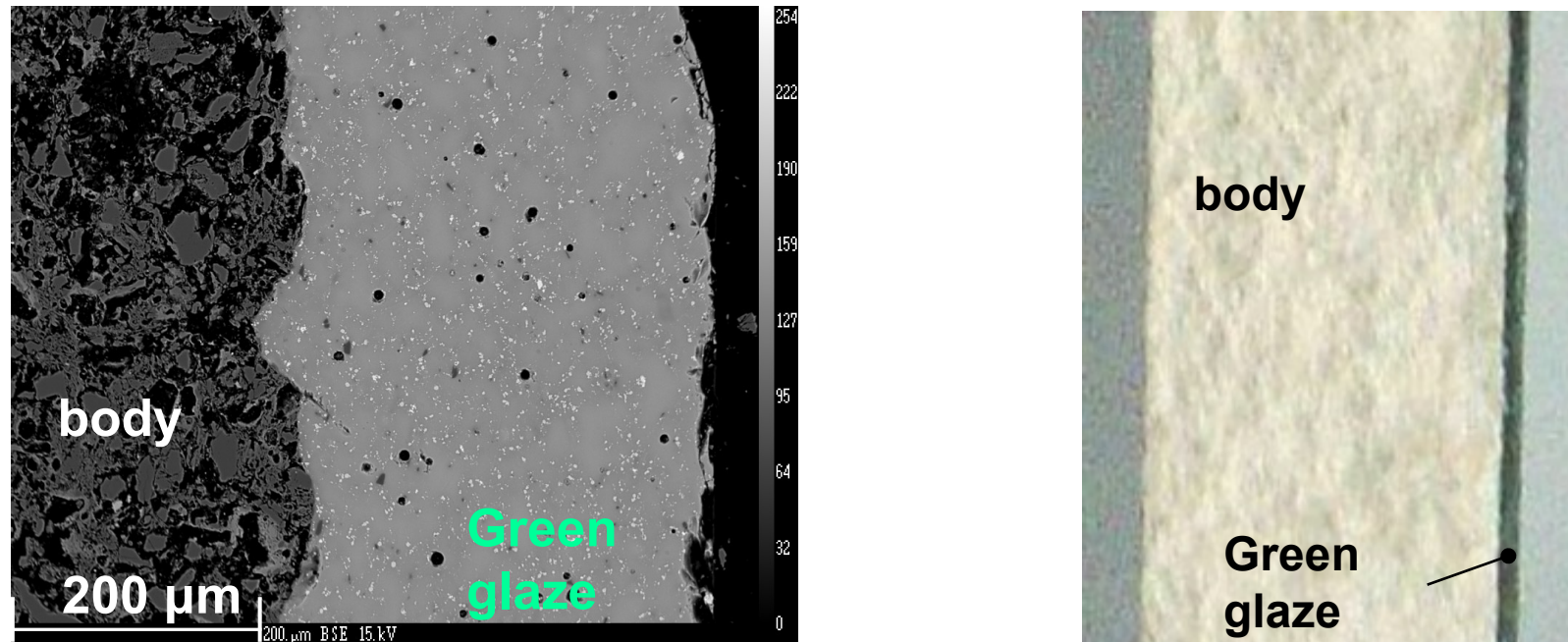
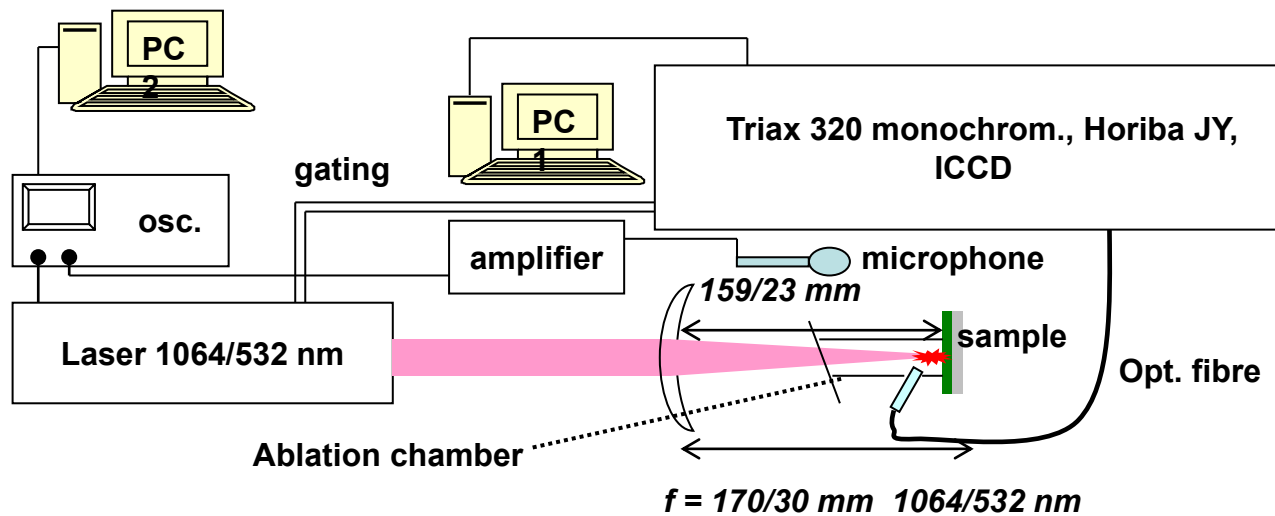
Pod 0,001 Torr nepozorována žádná změna. 1 Torr = 133 Pa

Projevy samoabsorpce



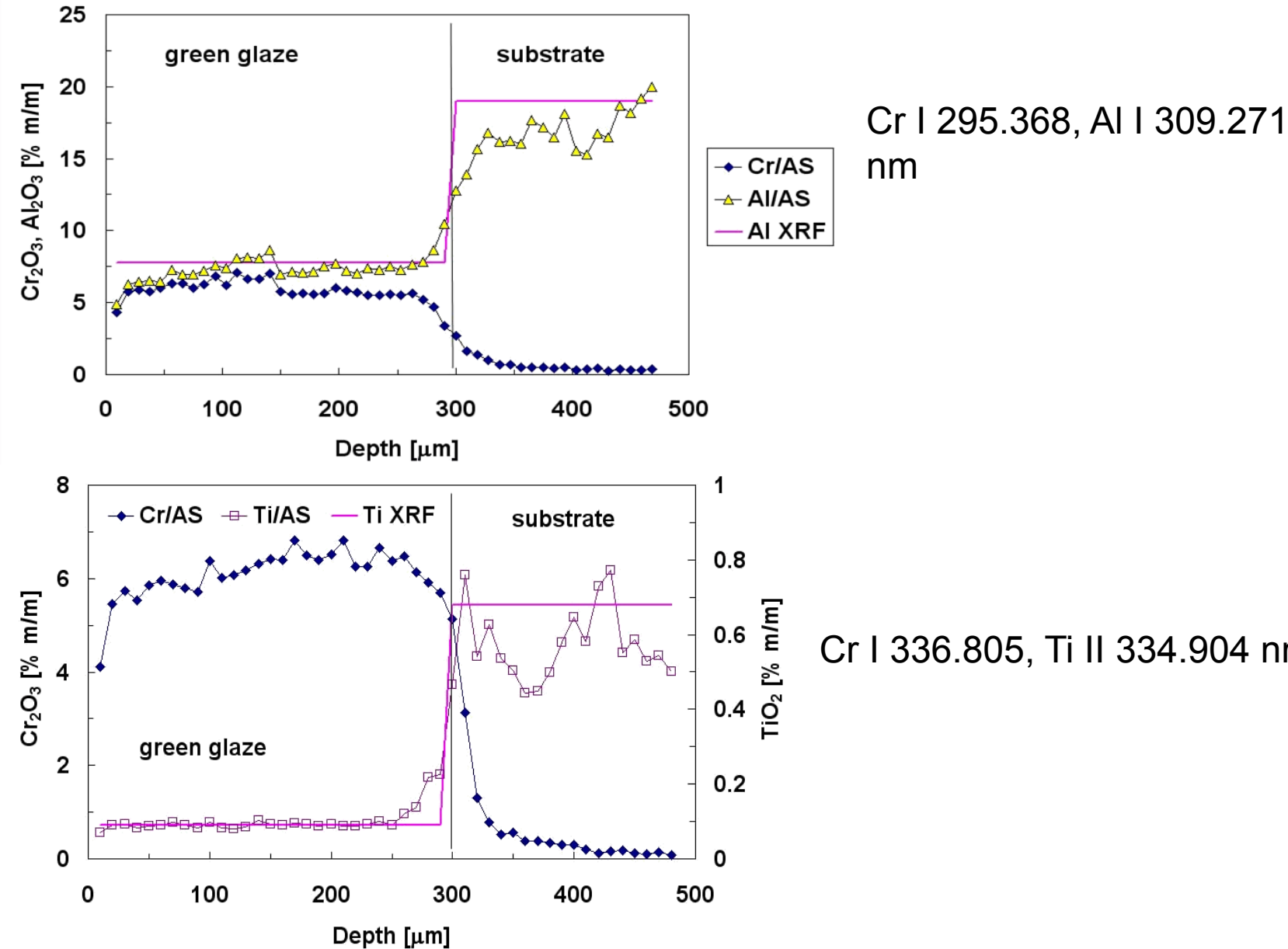
Někdy (stejné chování čar a homogenní rozmístění vnitřního srovnávacího prvku) pomůže vnitřní standardizace

LIBS – příklad vnitřní standardizace na doprovodný akustický signál



1064 nm

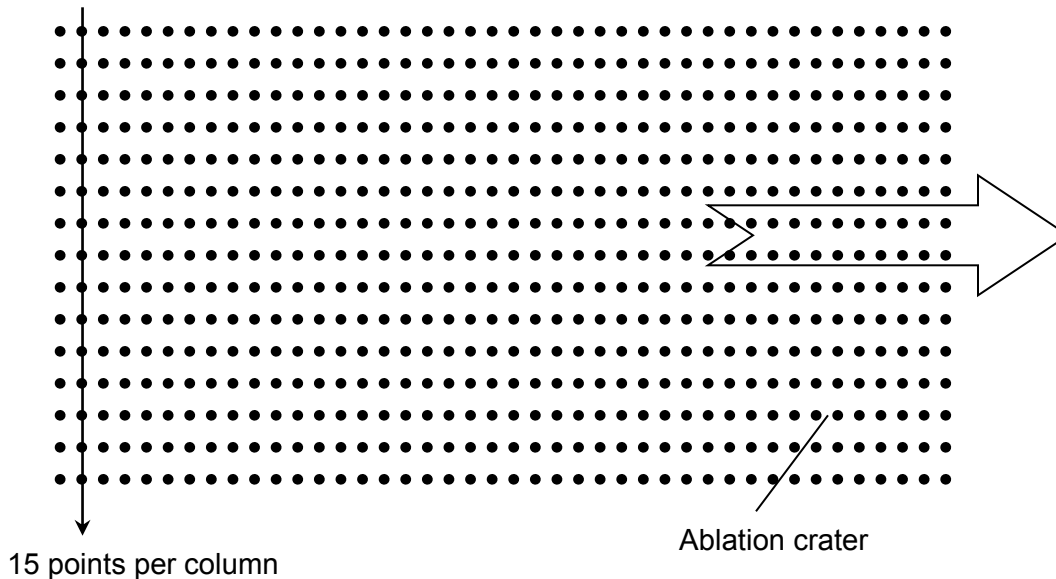
Vnitřní standardizace na doprovodný akustický signál AS



Povrchová analýza - mapování: Diskrétní charakter LA – síť kráterů na povrchu

Laterální rozlišení omezeno velikostmi kráterů a hustotou pokrytí.

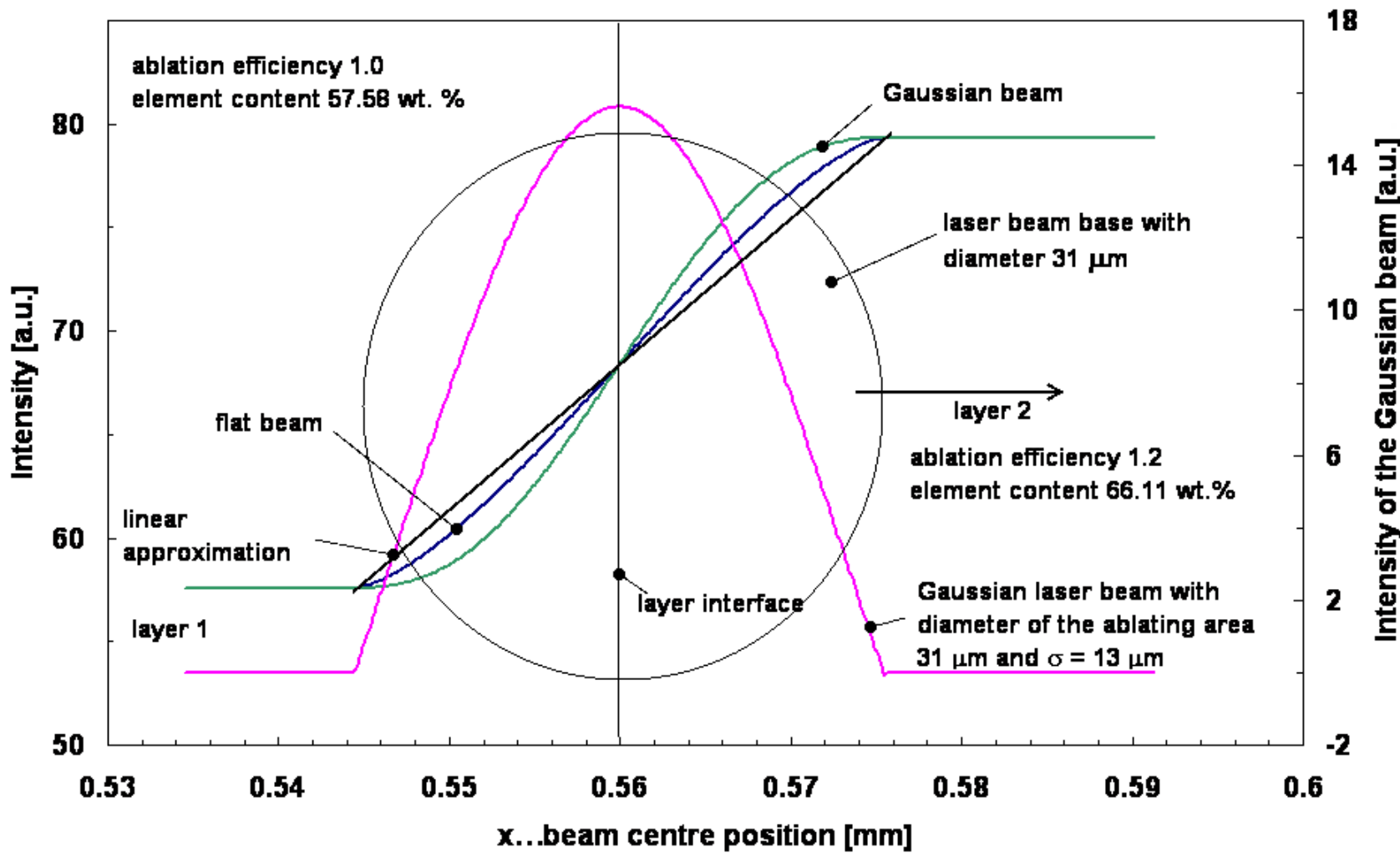
Example of ablation craters matrix – no overlap



Výhodné umístění: vzdálenost kráterů = průměru kráterů

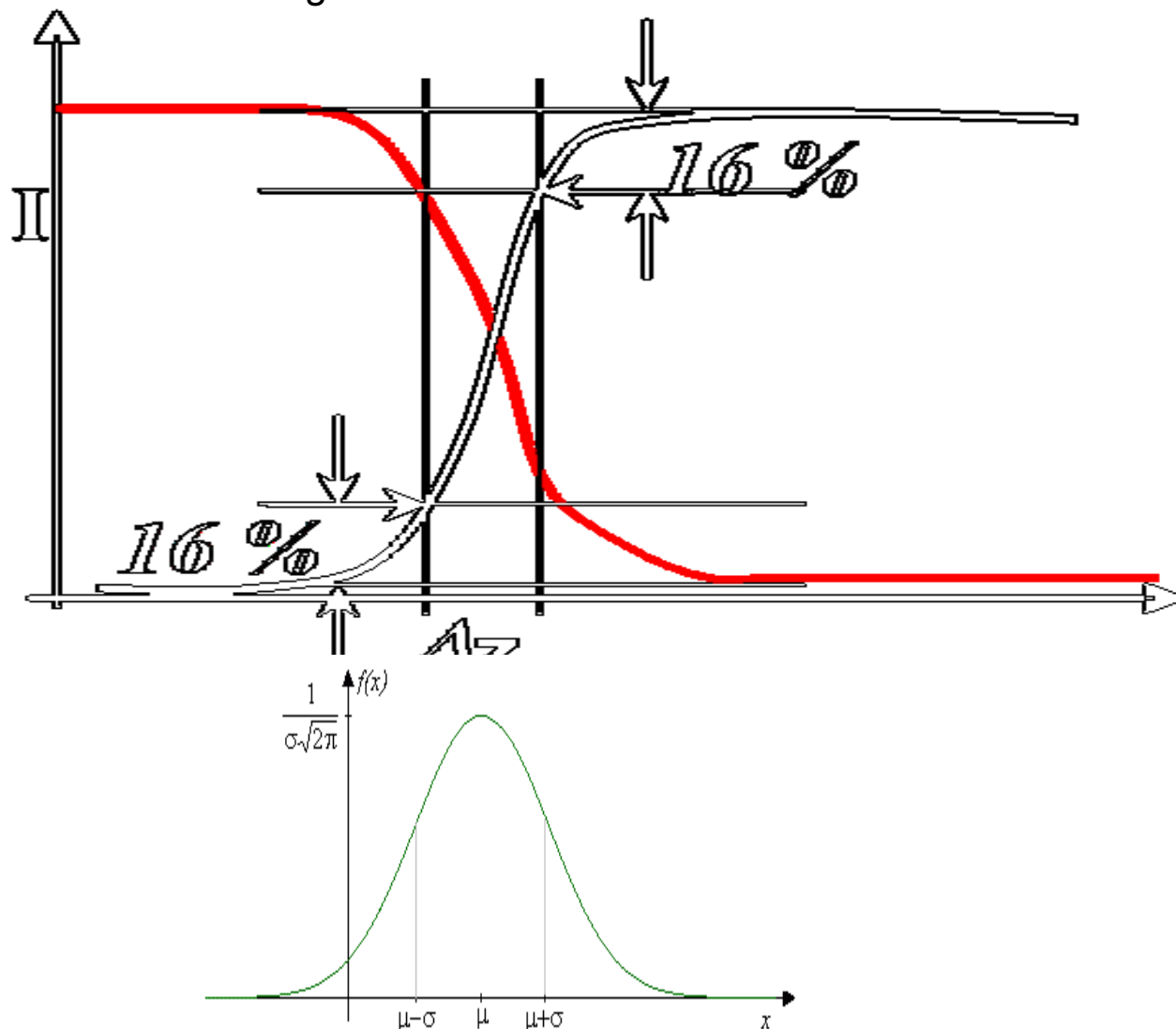


Př. Porovnání laterálního rozlišení – přejezd ostrého rozhraní gaussovským a plochým laserovým paprskem

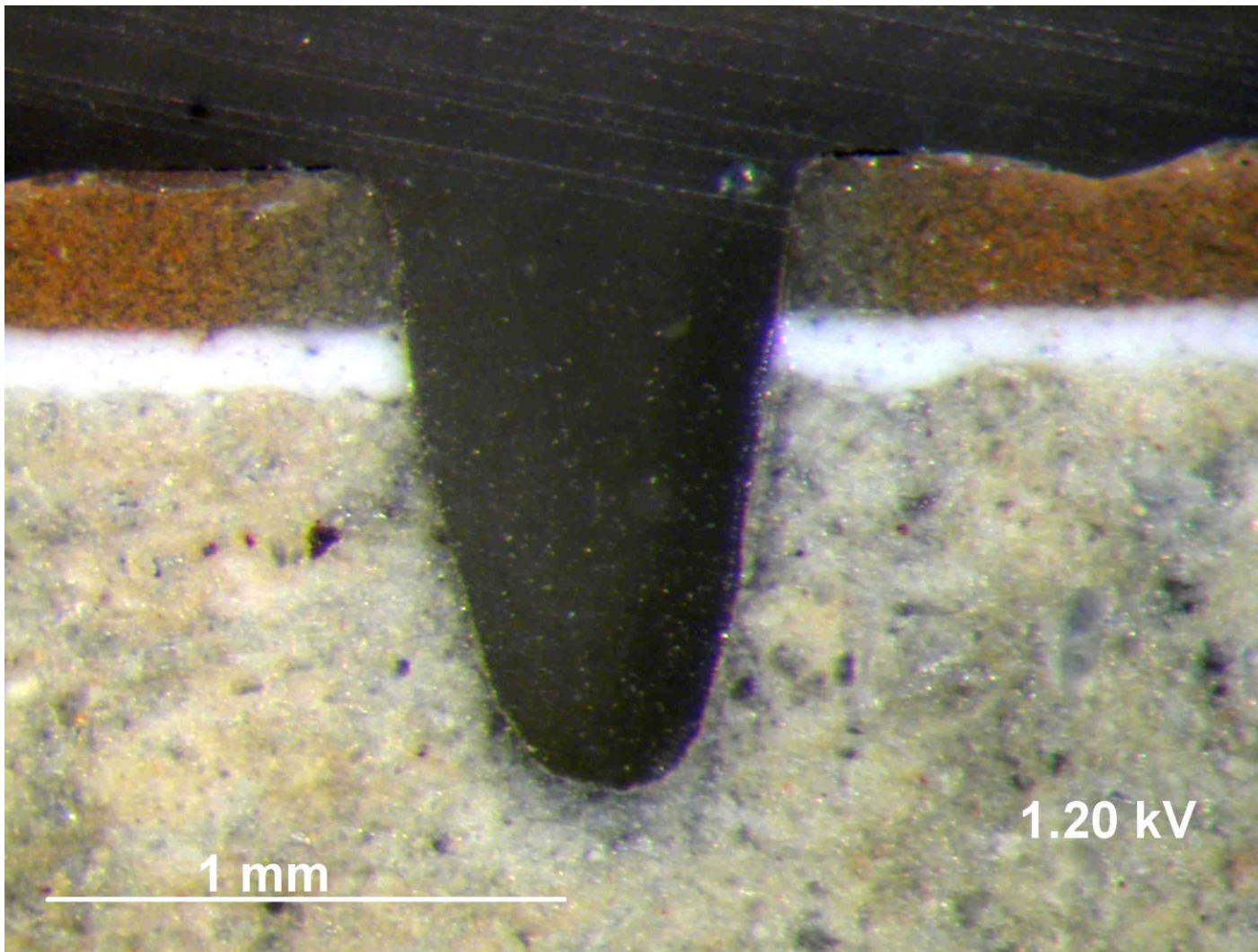


Ablace do bodu: jedna z definic hloubkového rozlišení

Ostré rozhraní mezi 2 vrstvami: hloubkový interval vymezující změnu signálu z 16 na 84 % nebo 84 - 16 % maxima. resp.- z Gaussovy křivky a intervalu $\pm \sigma$ kolem hranice mezi vrstvami.

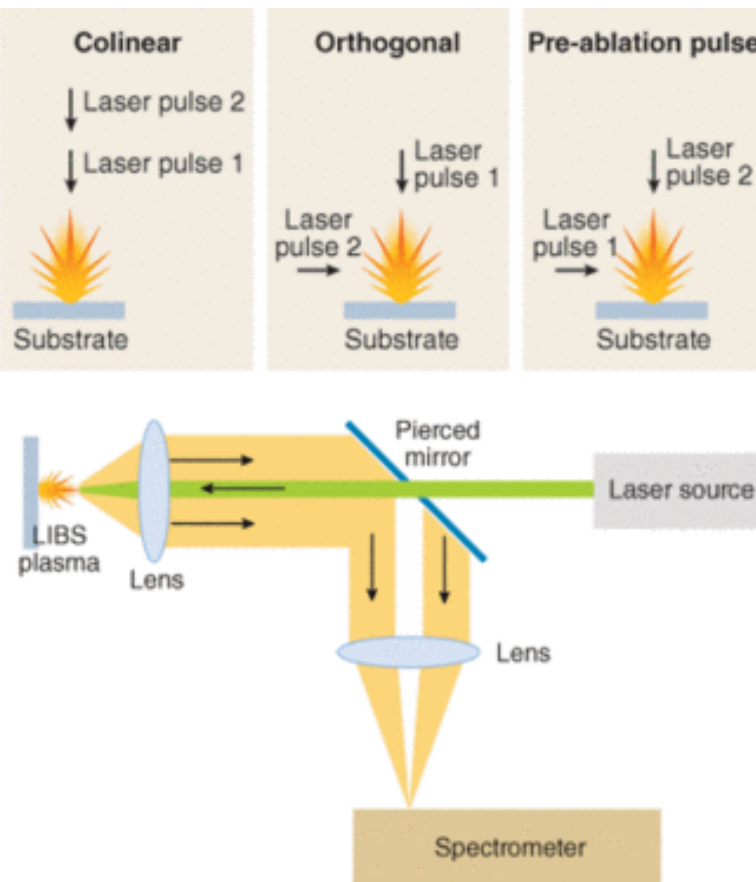


Př. řezu ablačního kráteru v keramické dlaždici

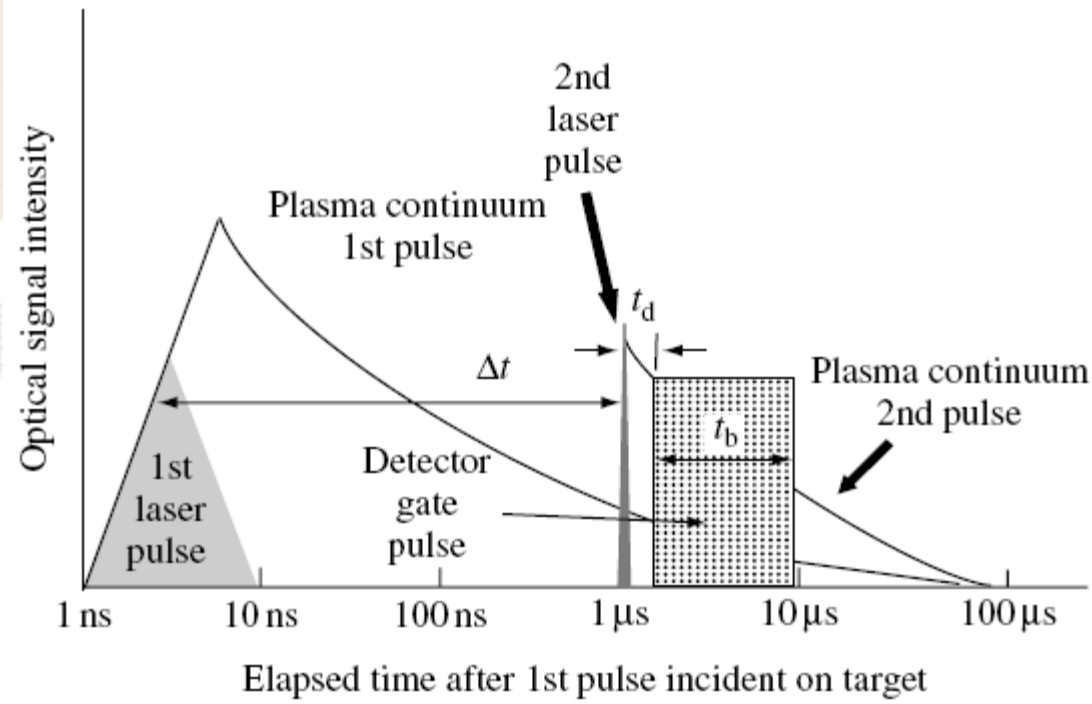


Double-Pulse LIBS

Prostorové uspořádání



1. pulz vytvoří nad vzorkem mikroplazma
2. pulz zasáhne a dobudí (reexcituje) mikroplazma vytvořené 1. pulzem



Double-pulse LIBS

Výhody

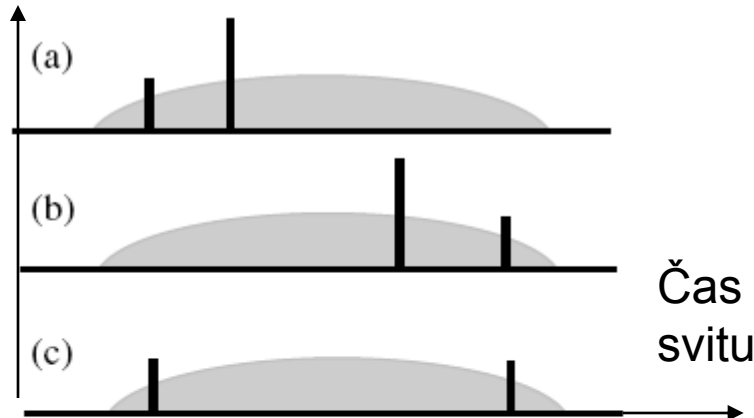
Nárůst citlivosti o 1-2 řády, možnost 2 stejných (rezonanční DP-LIBS) nebo kombinace různých vlnových délek, nejlépe UV ablační, IR reexcitační
Hloubkové profilování vrstev nebo povrchové mapování s lepším hloubkovým resp. laterálním rozlišením – malý kráter, ale dostatečný signál
Mikromapování heterogenních vzorků s lepším rozlišením než single pulse LIBS
Laditelné reexcitační lasery na selektivní excitaci atomů
Kombinace s dalšími technikami jako fluorescence nebo Ramanova spektroskopie
Použití fs laseru jako ablačního – velmi malé pravidelné krátery

Nevýhody oproti single-pulse LIBS

Složitější a dražší instrumentace

Double pulse s jedním laserem – využití doby svitu výbojky

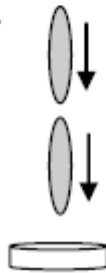
Energie pulzů



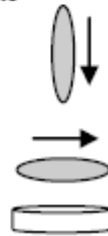
Netypicky dlouhé prodlevy
mezi pulzy: 40 – 160 μ s,
vhodné pro souosé uspořádání
– společná optika

Užití při podvodním průzkumu
– pevné vzorky

Collinear



Orthogonal

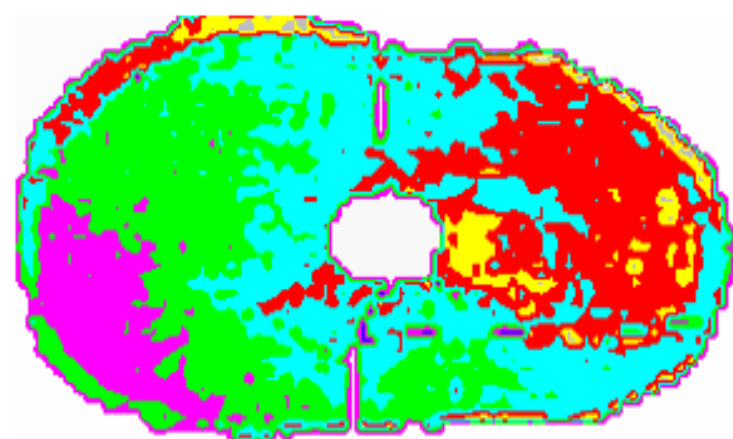
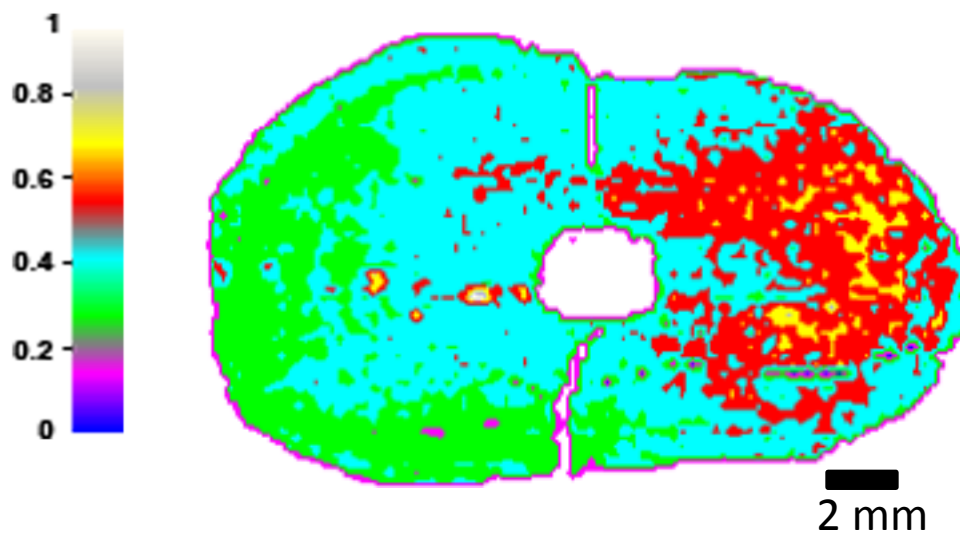


Single Pulse vs Double Pulse LIBS

Ca

SP LIBS

DP LIBS



Větší citlivost při
lepším povrchovém
rozlišení

Spektroskopické měření tvrdosti

Využití poměru $I_{\text{ion}}/I_{\text{atom}}$

Předpoklad: větší povrchová tvrdost znamená pružnější odraz rázové vlny zpět do mikroplazmatu – více energie na jeho zahřátí, a tím i ionizaci, proto intenzity iontových čar vzrostou na úkor čar atomových

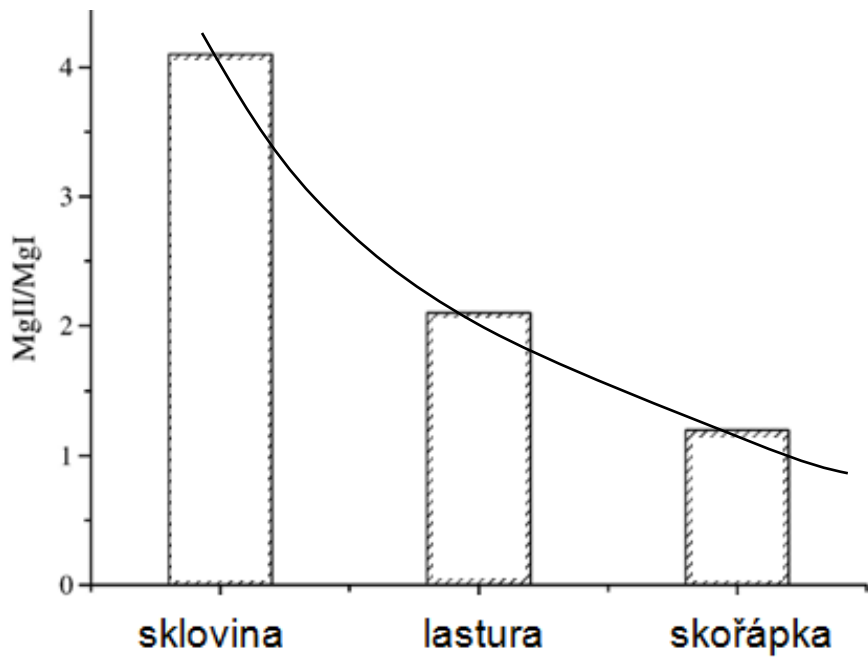
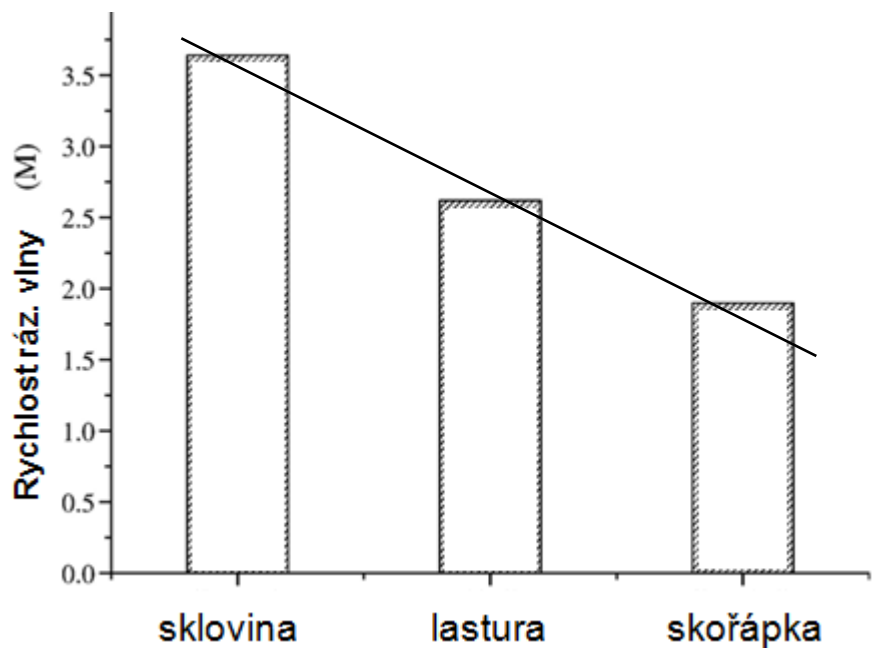
$I_{\text{ion}}/I_{\text{atom}}$ (tvrdší povrch) > $I_{\text{ion}}/I_{\text{atom}}$ (měkčí povrch)

Platnost uvnitř určité skupiny vzorků s podobnými matricemi, např.: zuby, kosti, vápenec, omítky, betony

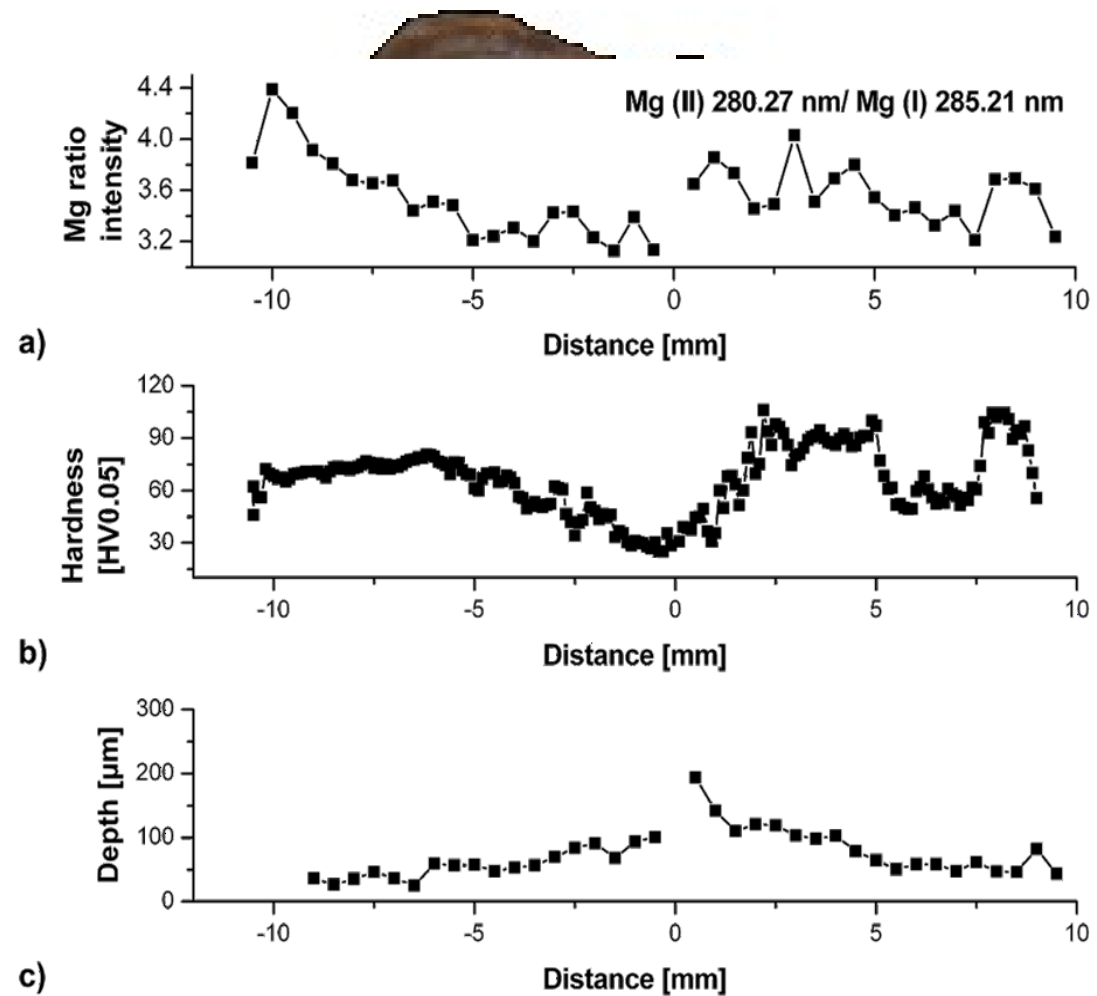
Obecně neplatí mezi různými skupinami vzorků, např. vápenec, křemen, zuby, kovy

Model závislostí: 1) T vs tvrdost, 2) $I_{\text{ion}}/I_{\text{atom}}$ vs tvrdost, 3) rychlosť rázové vlny vs tvrdosť

1) a 2) prezentovaný experimentální *lineárni* závislosti – neplyne z teorie (Sahova rovnice: n_e může růst s T)



Př. aplikace LIBS: Měření relativní tvrdosti z poměru intenzit iontové a atomové čáry



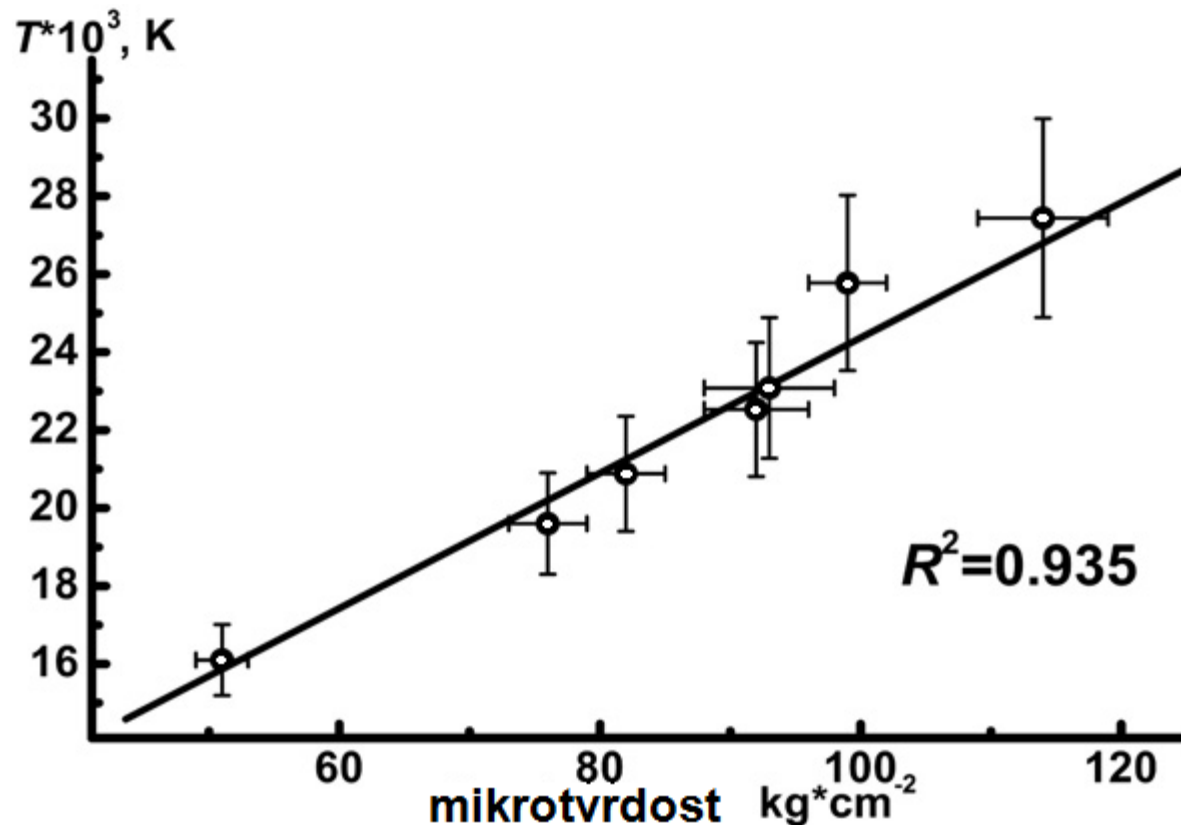
Byla publikována:

Rostoucí závislost tvrdosti na

- rychlosti odražené rázové vlny

- excitační teplotě mikroplazmatu

Př.: Al-Cu-Li slitina



Remote LIBS nebo stand-off LIBS

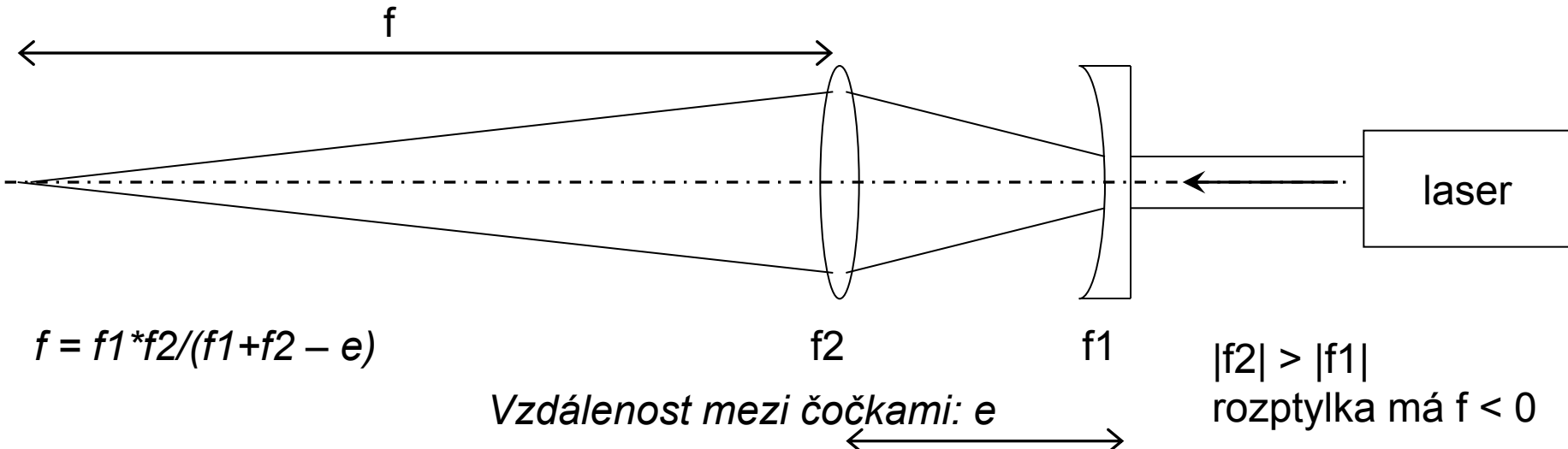
LIBS s dálkovou detekcí – vzorek je ablatován na vzdálenost cca 1 m až stovky m

Záření mikroplazmatu je snímáno složitějšími systémy na bázi dalekohledů

Výhody – bezkontaktní analýza (výbušniny), nepřístupná místa

Nevýhody – výkonnější laser, obtížné zaostřování paprsku a zaměřování

Princip dálkového zaostřování – Galileův dalekohled – transfokátor
–(možný i Keplerův se spojkou, ale nebezpečí průrazu atmosféry):
průchod paprsku rozptylným a spojným prvkem – kombinace:
čočka-čočka, čočka-zrcadlo, zrcadlo-čočka, zrcadlo-zrcadlo



$$f = f_1 * f_2 / (f_1 + f_2 - e)$$

Vzdálenost mezi čočkami: e

$$f_2$$

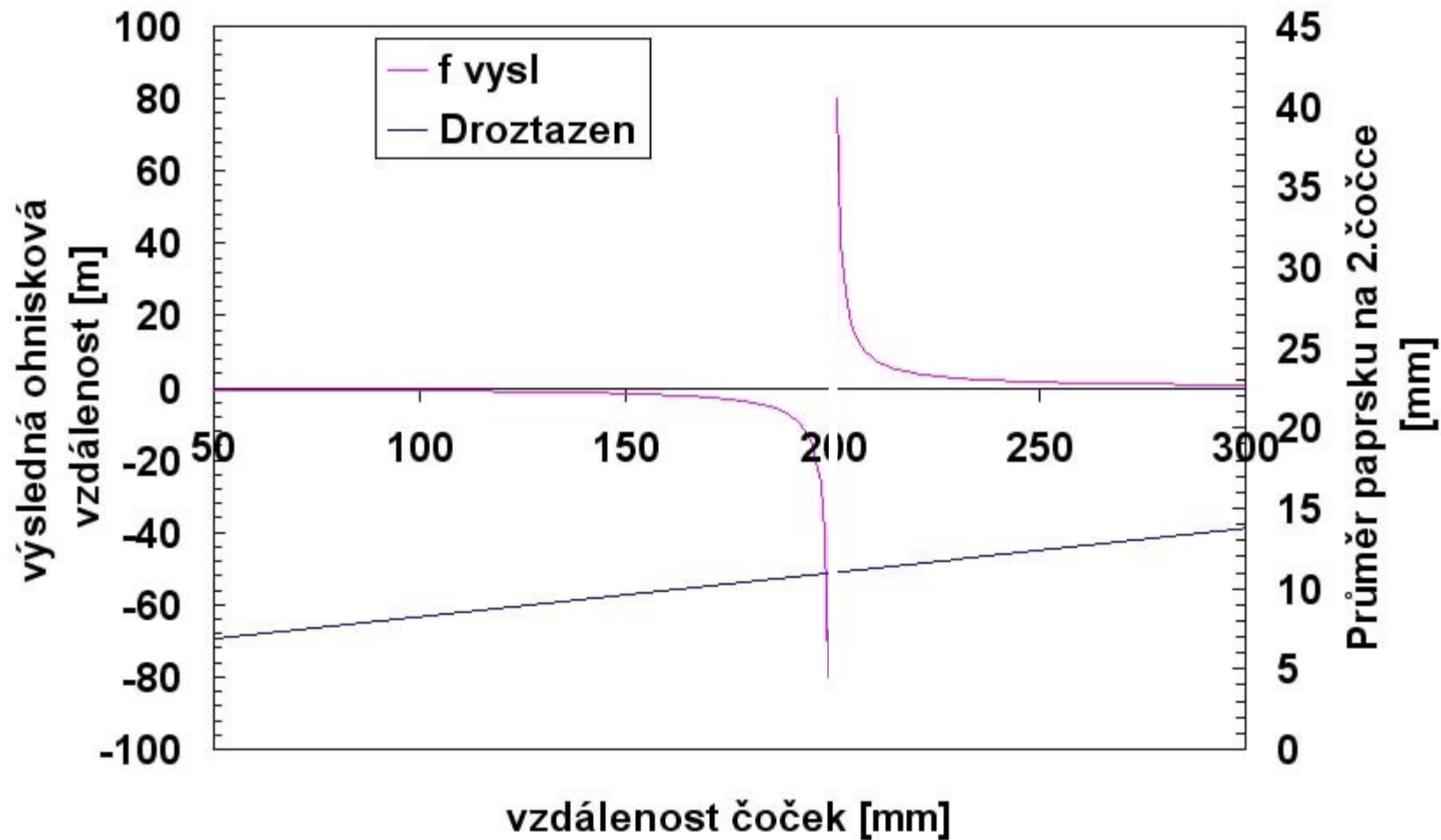
$$f_1$$

$$|f_2| > |f_1|$$

rozptylka má $f < 0$

Aby to fungovalo jako spojka: $e < f_1 + f_2$ - Keplerův, $e > f_1 + f_2$ - Galileův

Příklad proměnlivé ohniskové vzdálenosti – spojka $f_2 = 400$ mm;
rozptylka $f_1 = -200$ mm; průměr paprsku z laseru 5,5 mm;



Platí pro ideální čočky, ve skutečnosti se to liší díky vadám čoček. Pro vzdálenost čoček $e = f_1 + f_2$ je to expander – rovnoběžný roztažený svazek a zaostřený dalekohled

Různá experimentální uspořádání pro dálkovou detekci

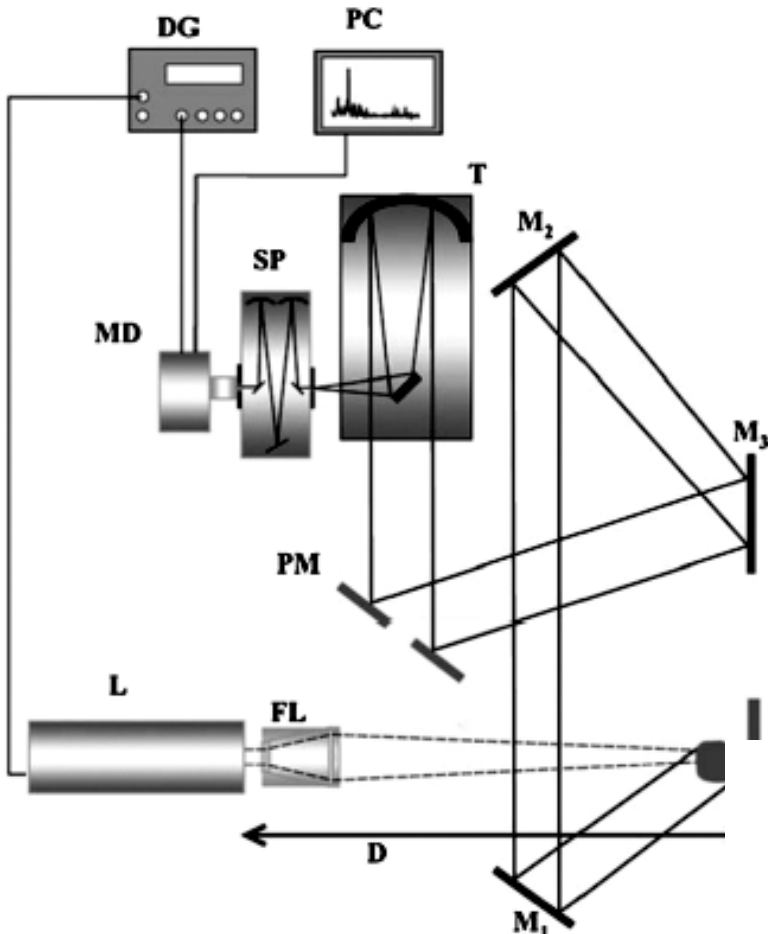
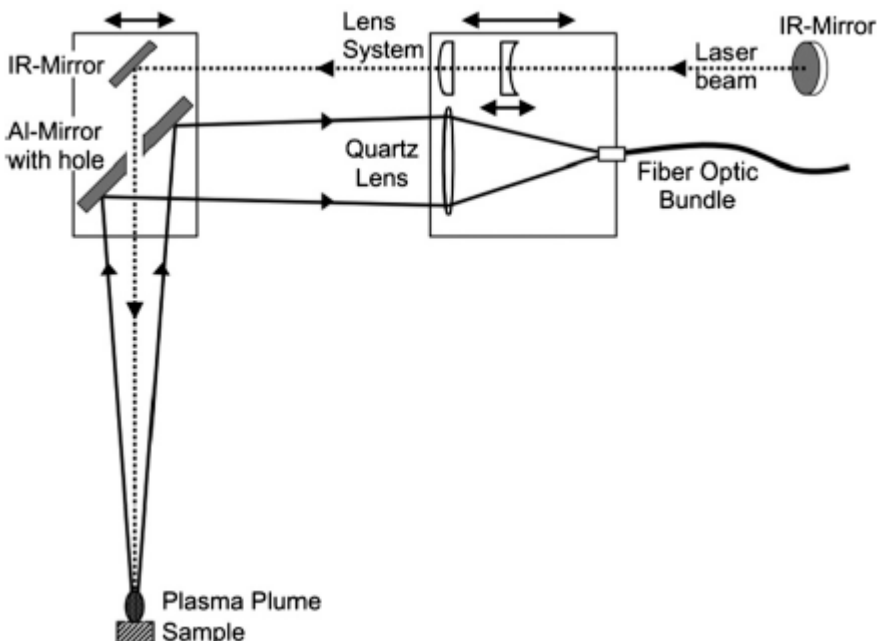
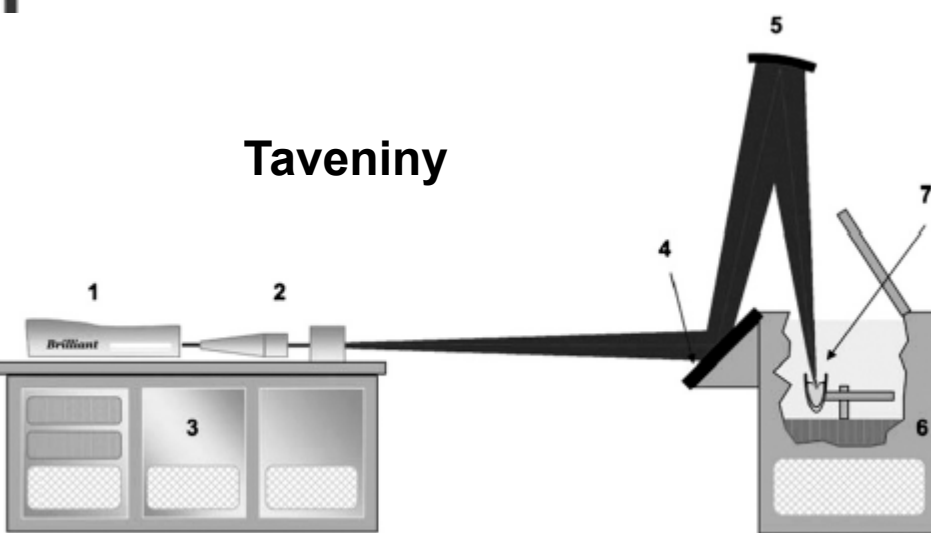


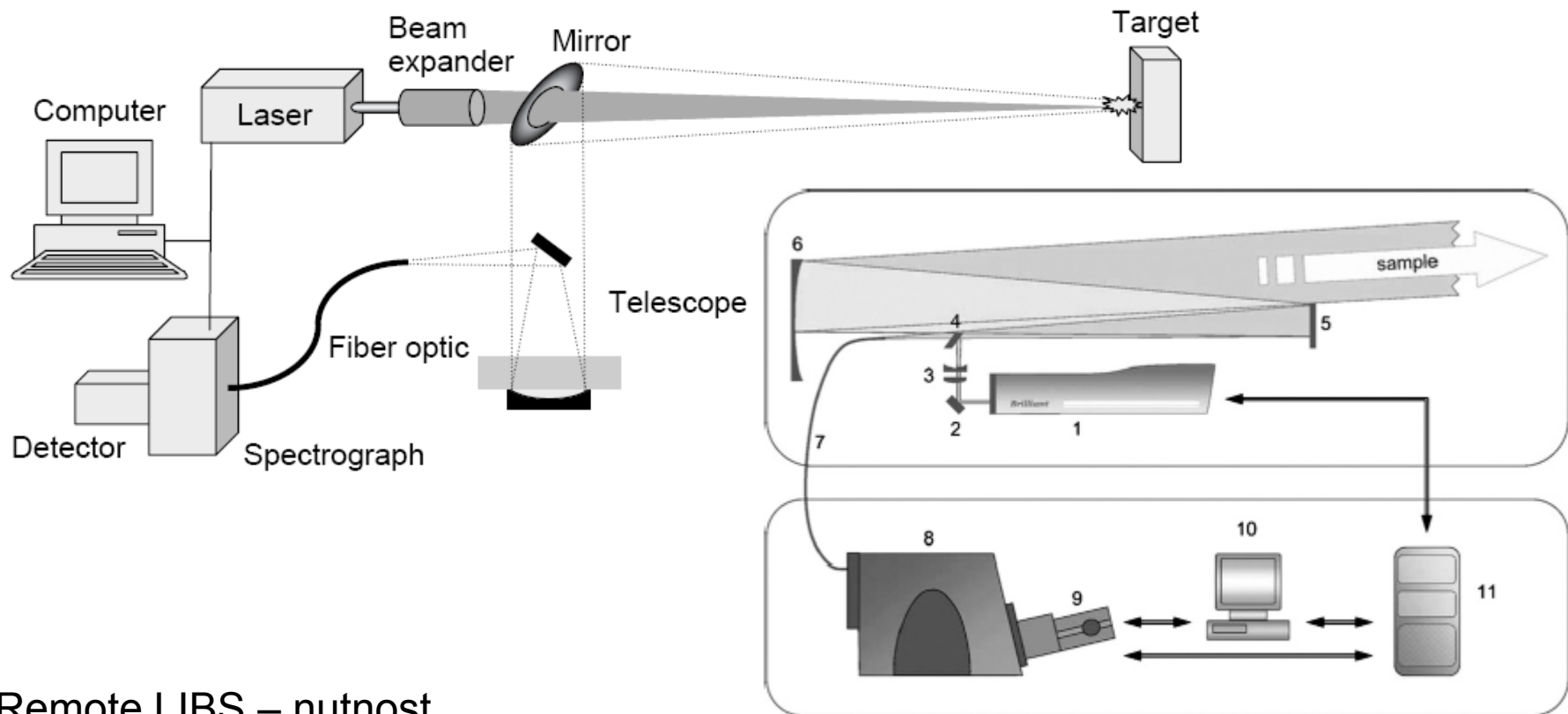
Fig. 1. Experimental setup used for remote monitoring of high-temp samples by LIBS. L laser, FL focusing lenses, M₁, M₂, M₃ flat mirror, T telescope, SP spectrograph, MD multi-channel detector, DG digital delay/pulse generator, PC personal computer. With kind permission Springer Science and Business Media.



Taveniny



Zrcadlové uspořádání na dálkovou detekci – obvykle z Newtonova dalekohledu



Remote LIBS – nutnost integrace více pulzů (i 100) – nehodí se na mikrom. hloubkové profilování, ablační krátery mm rozměry

1-laser; 2-45° zrcadlo; 3-expander; 4-dichroické zrcadlo; 5-rovinné zrcadlo; 6-duté zrcadlo (fokusace a detekce); 7-optické vlákno; 8-spektrograf; 9-ICCD; 10-PC; 11-delay generátor, gating

Př. Uspořádání remote LIBS: 6-10 m, průměr kráterů asi 1 mm



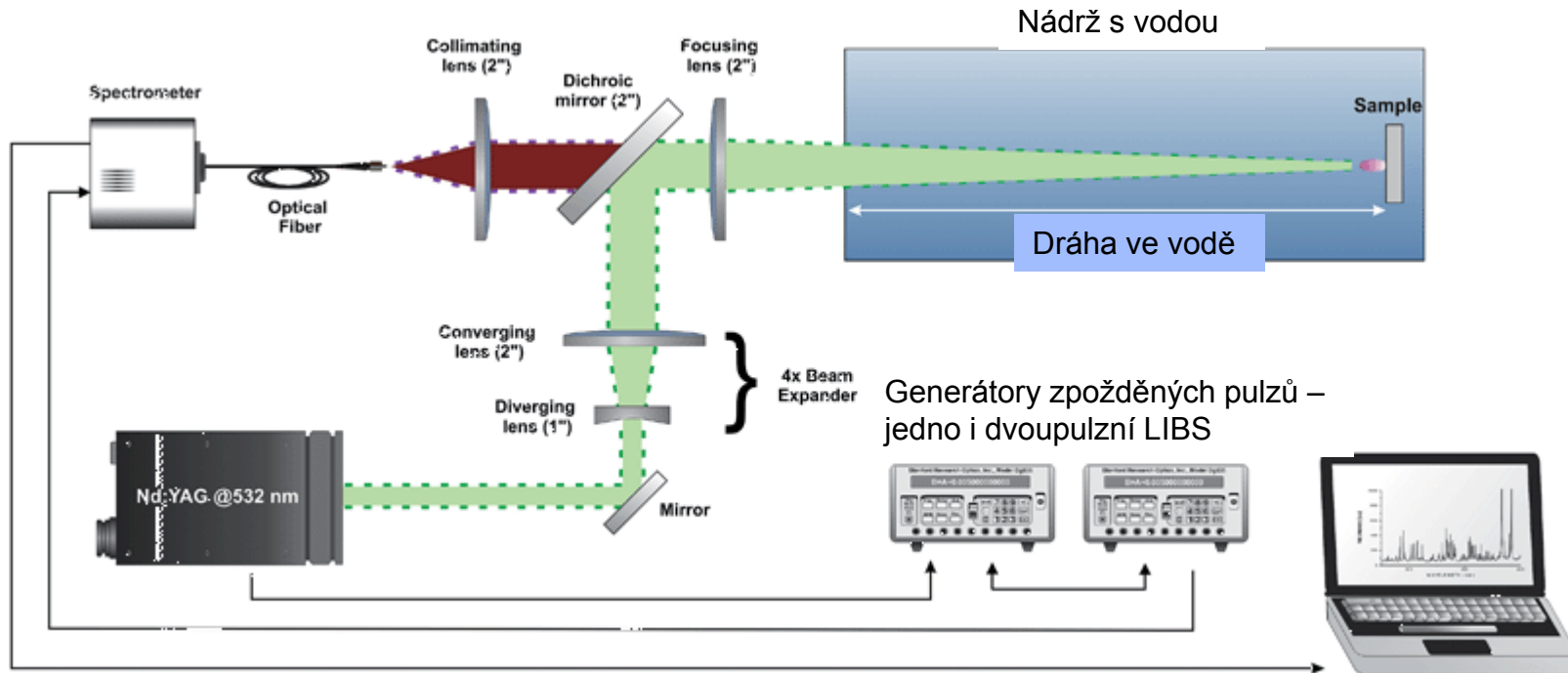
(VUT-FSI, Ústav fyzikálního inženýrství: J. Kaiser, J. Novotný, A. Hrdlička, R. Malina, D. Prochazka)

Mobilní zařízení – dálková LIBS na 20 m: Newtonův dalekohled – detekce, čočková soustava – zaostřování paprsku laseru (diodami čerpaný Nd: YAG 1064 nebo 532 nm)



LIBS ve vodě

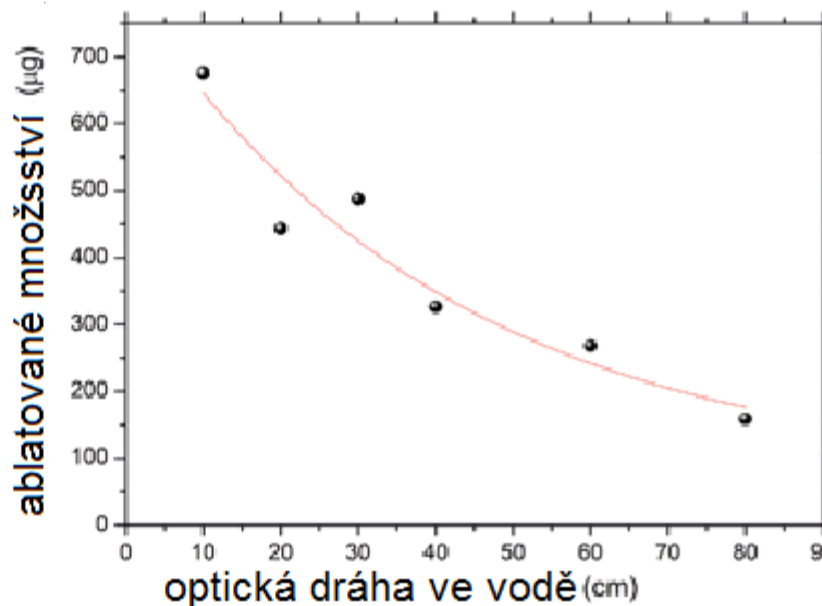
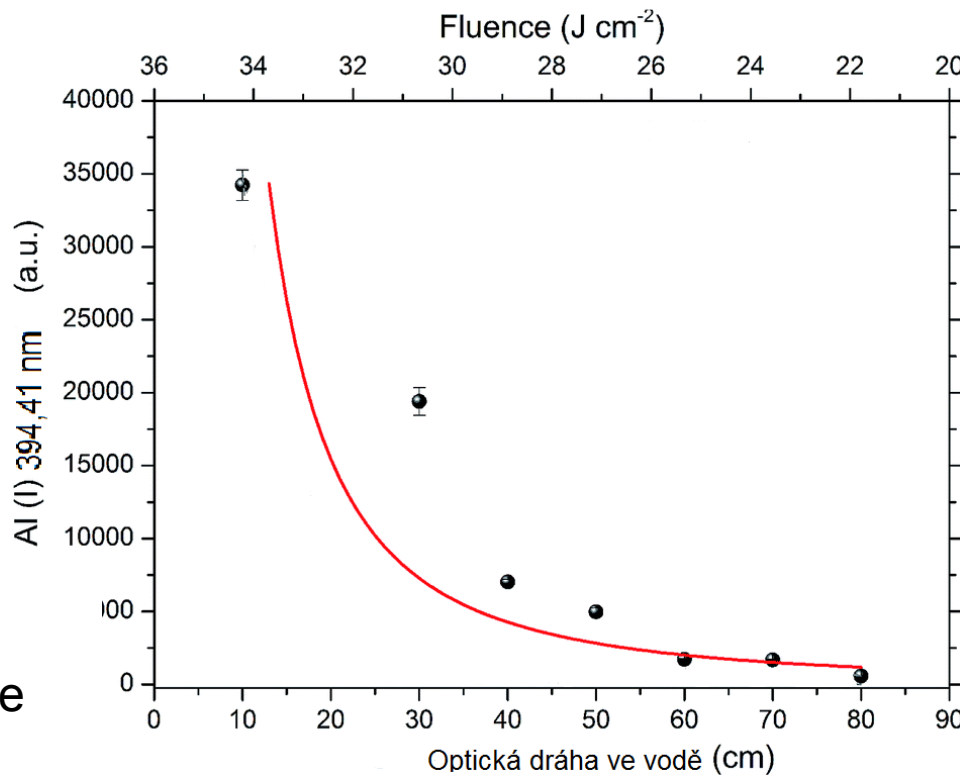
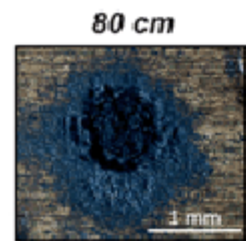
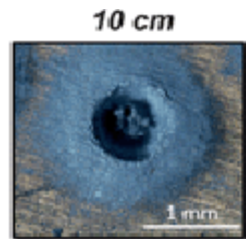
Vyžaduje krátkou vzdálenost (sondu) laserového paprsku od vzorku, je třeba sonda, nevhodné pro dálkovou bezkontaktní analýzu



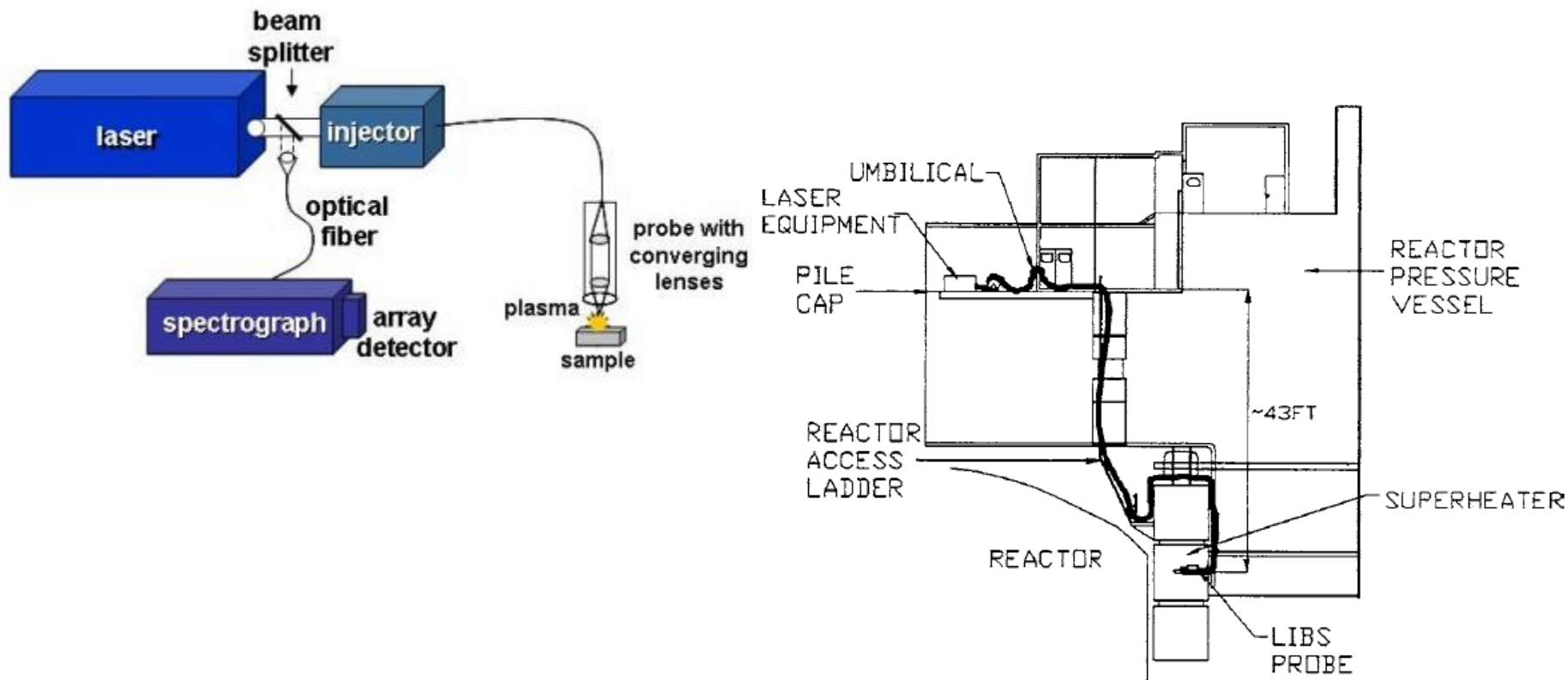
F. J. Fortes , S. Guirado , A. Metzinger and J. J. Laserna, *J. Anal. At. Spectrom.*, **30**, 1050-1056, 2015.

Útlum a defokuzace paprsku i mikroplazmatu ve vodě (absorpce a rozptyl ve vodě, velký index lomu), vysoký tlak v hloubce

Vzhled a hloubka kráteru - ablatované množství klesá se vzdáleností terče ve vodě



Dálková analýza – vedení paprsku i detekce záření jedním optickým kabelem – vhodné do vody, ale i taveniny – tekutý Zn (Sabsabi et al.)



Přenosná zařízení (portable LIBS) do terénu



Model 0117



Dálková analýza v nebezpečném prostředí – výbušninu, vnitřek reaktoru

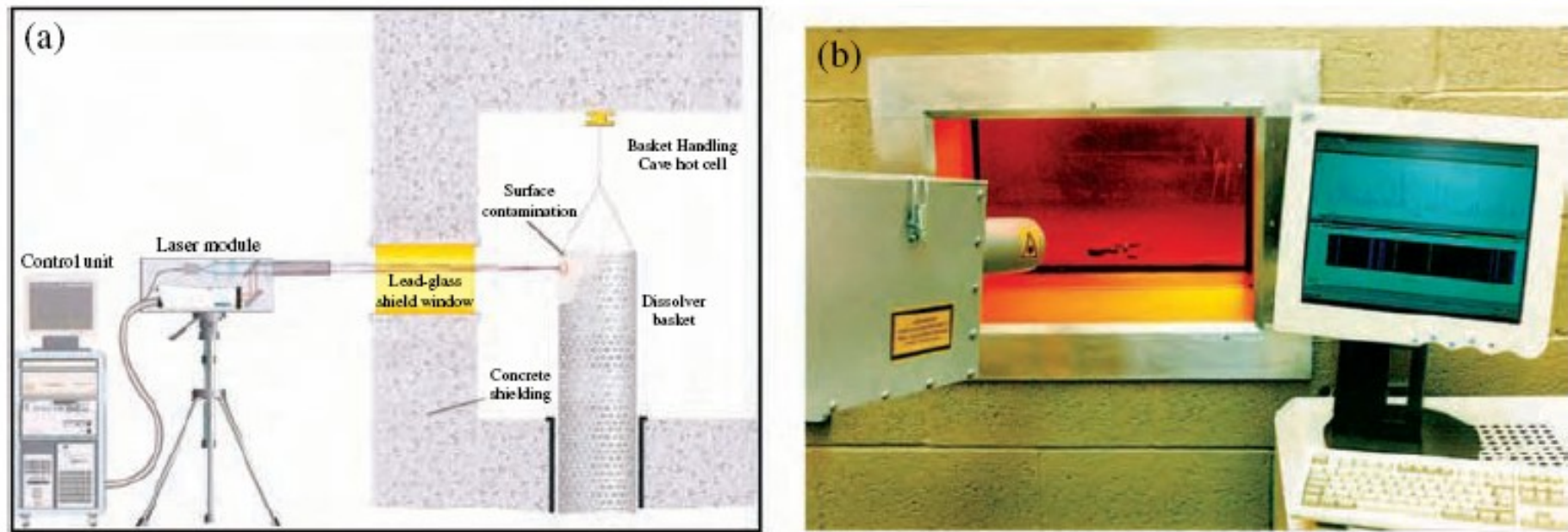
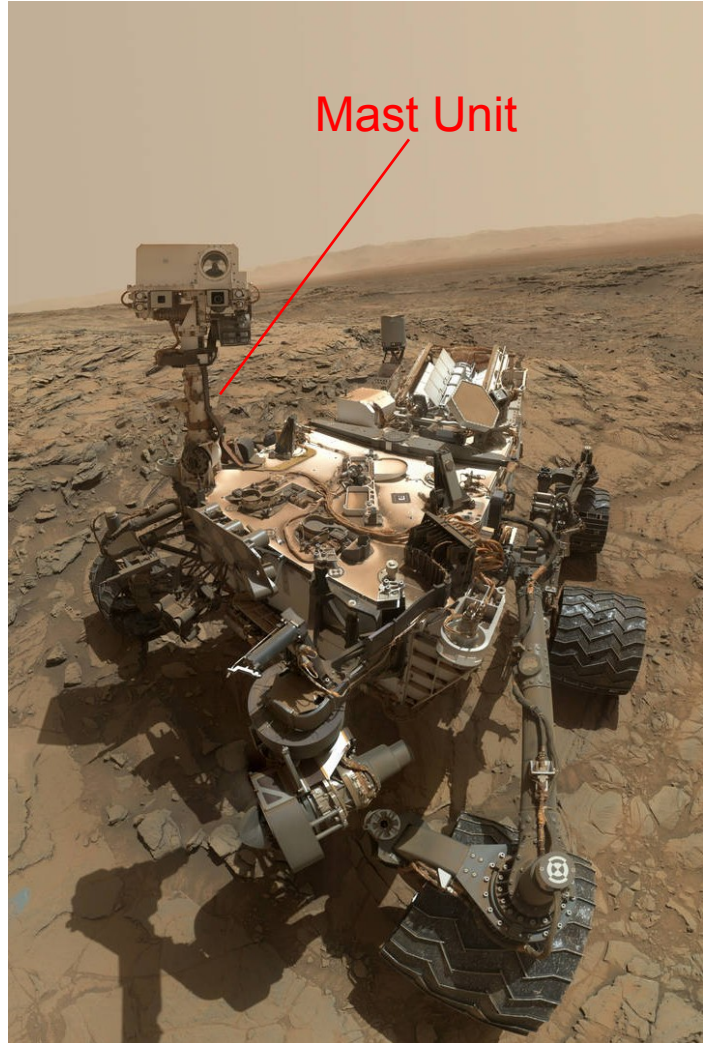


Plate 13 (a) Schematic showing the deployment of the remote LIBS instrument to monitor surface contamination. (b) Laser beam of the instrument being directed through the lead glass shield window (Applied Photonics, 2004a. Courtesy of Applied Photonics, Ltd) (see Figure 7.7)

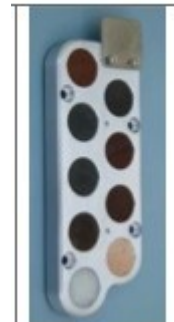
ChemCam – Mars rover Curiosity 2012



Mast Unit

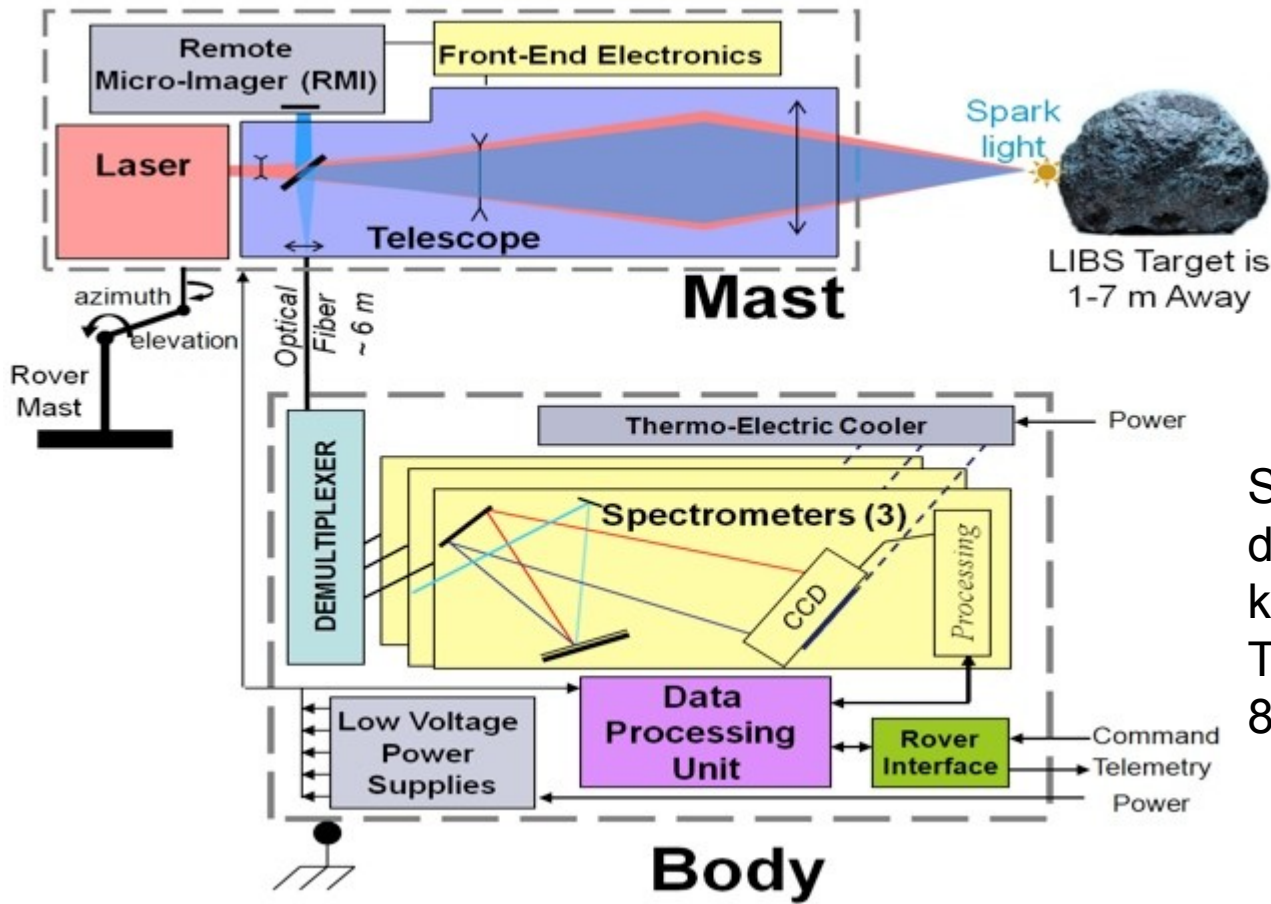
Pulzní (Q-switch) Nd:KGW
(Nd:KGd(WO₄)₂) laser, 1067 nm,
gaussovský profil paprsku, 1-10 Hz,
➤ 1 GW/cm², kráter 0,3 – 0,6 mm,
~14 mJ pulzy, 5 ns.
➤ Kvantitativní stanovení: Na, Mg, Al, Si, Ca,
K, Ti, Mn, Fe, H, C, O, Li, Sr, Ba. Na Zemi
také zkoušeno: S, N, P, Be, Ni, Zr, Zn, Cu,
Rb, Cs.
➤ 50-75 pulzů a 10% (ne)správnost a
(ne)přesnost pro majoritní prvky na 7 m.

Sada kalibračních terčů



http://www.nasa.gov/mission_pages/

ChemCam – Mars rover Curiosity 2012



Sběr záření 110 mm
dalekohledem na opt.
kabel.

Trojity spektrometr 240 -
850 nm,